



Klinik für Hämatologie,
Onkologie und
Tumorimmunologie (CCM)

Charité – Universitätsmedizin
Berlin



HCC

Onkopedia Leitlinie

Prof. Sebastian Stintzing | 26. April 2024 | DGHO Berlin



Offenlegung Interessenskonflikte

Stintzing Sebastian

1. Anstellungsverhältnis oder Führungsposition

Charité – Universitätsmedizin Berlin

2. Beratungs- bzw. Gutachtertätigkeit

AMGEN, AstraZeneca, Bayer, BMS, CV6, Daiichi-Sanyko, ESAI, Lilly, Merck KGaA, MSD, Pierre-Fabre, Roche, Sanofi, Servier, Taiho, Takeda

3. Besitz von Geschäftsanteilen, Aktien oder Fonds

keine

4. Patent, Urheberrecht, Verkaufslizenz

keine

5. Honorare

AMGEN, AstraZeneca, Bayer, BMS, Daiichi-Sanyko, ESAI, Leo-Pharma, Lilly, Merck KGaA, MSD, Pierre-Fabre, Roche, Sanofi, Servier, Taiho, Takeda

6. Finanzierung wissenschaftlicher Untersuchungen

Merck KGaA, Pierre-Fabre, Servier, Roche

7. Andere finanzielle Beziehungen

keine

8. Immaterielle Interessenkonflikte

keine

Inhalt

1. Grundlagen
2. Prävention
3. Klinisches Bild
4. Diagnose
5. Therapie
 - (1) Lokale Verfahren
 - (2) Systemische Therapie
6. Zukunft



1

Onkopedia Leitlinie HCC Grundlagen

Grundlagen


Epidemiologie

- ca. 6.000 Neuerkrankungen pro Jahr/Dtschl.

→ Inzidenz:  1:  3

- ca. 4.300 Sterbefälle pro Jahr

- Erkrankungsalter (median)

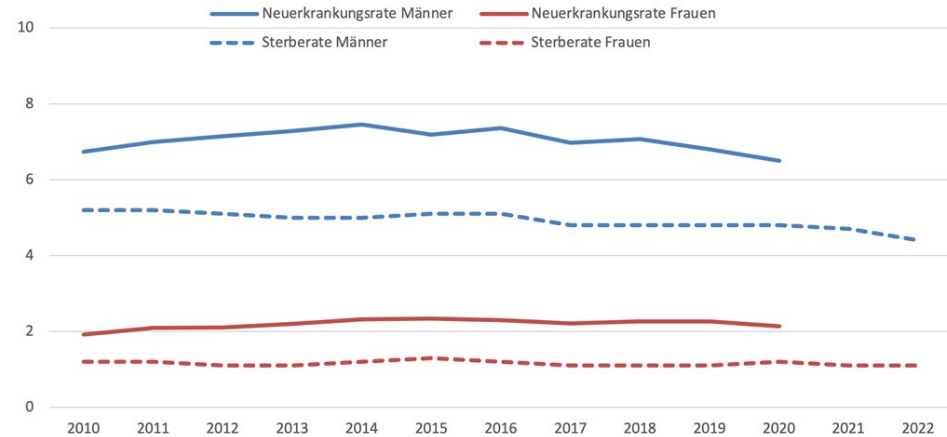
→  75 Jahre;  71 Jahre

- Medianes Überleben:

<60 Jahre: 13 Monate

60-74 Jahre: 12 Monate

>75 Jahre: 8 Monate



Weltweit:

- Ca. 910.000 Neuerkrankungen pro Jahr
- Ansteigende Inzidenz

Grundlagen

Epidemiologie

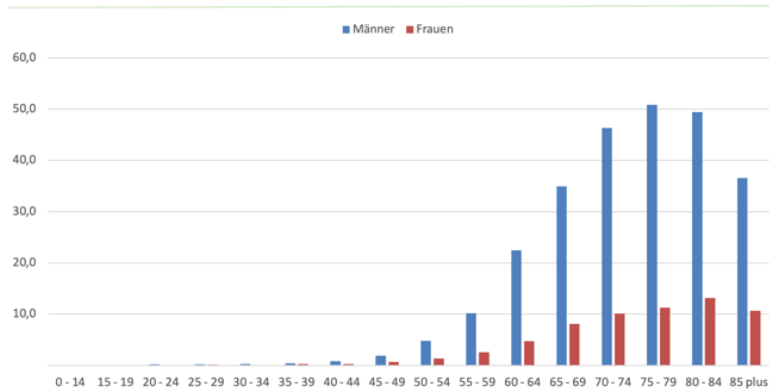


Abbildung 2: Inzidenzraten des HCC nach Alter in Jahren und Geschlecht (Deutschland 2018-2020, je 100.000 Personen)

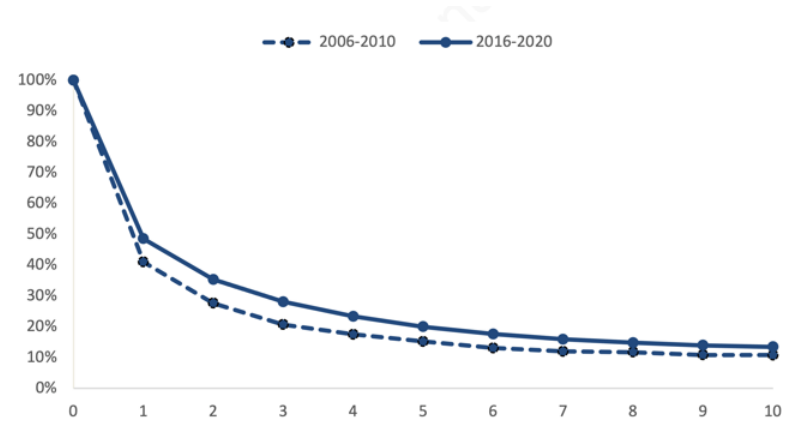


Abbildung 3: Relative Überlebensraten in Deutschland bis 10 Jahre nach Erstdiagnose eines HCC, nach Zeitperiode (Periodenanalyse, ausgewählte Register)

2

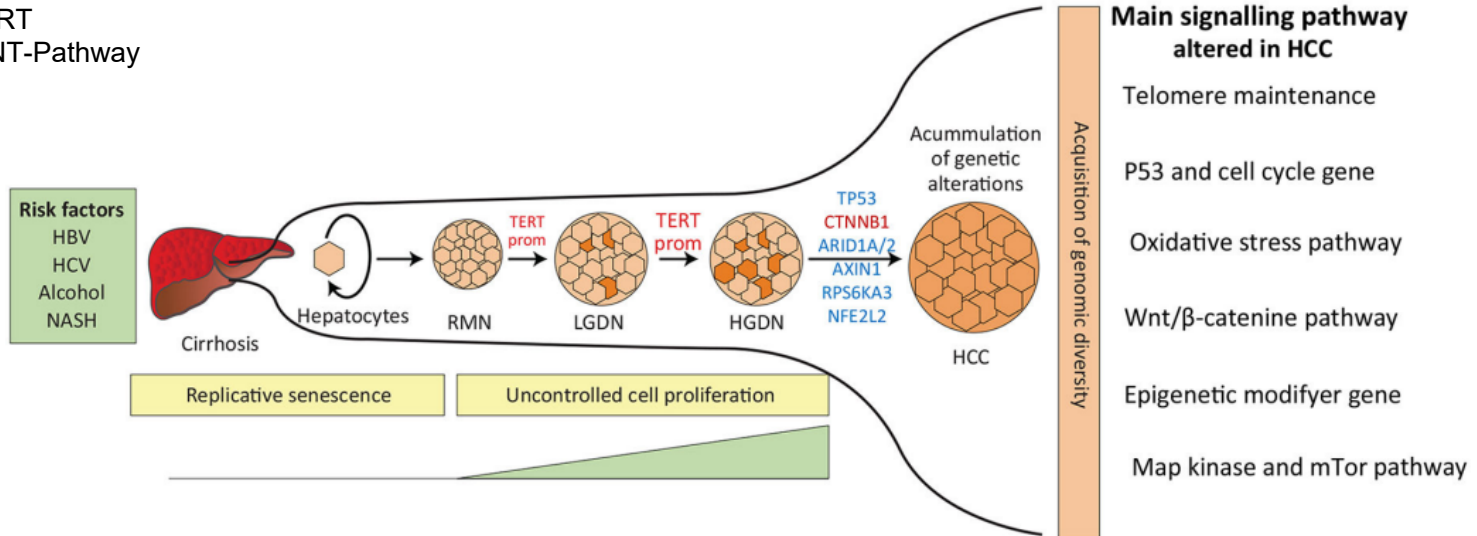
Onkopedia Leitlinie HCC Prävention

Prävention

Karzinogenese

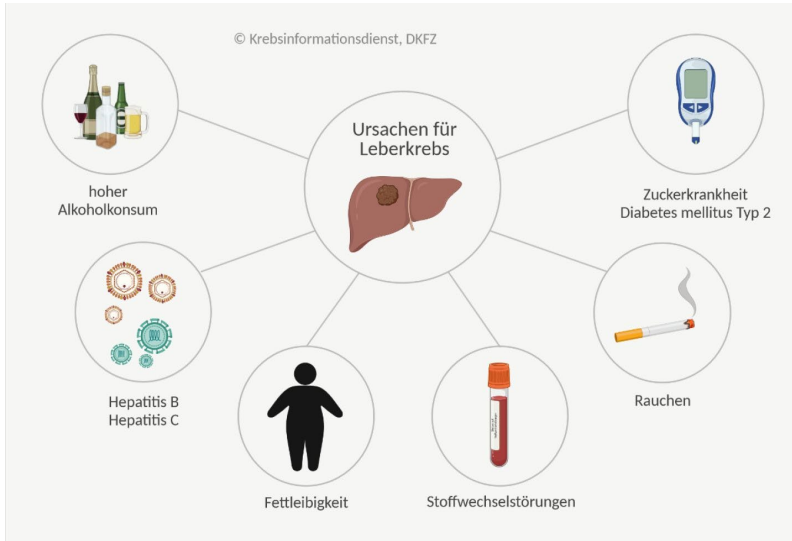
Zentral ist:

- TP53
- TERT
- WNT-Pathway



Prävention

Risikofaktoren



Alcoholic liver disease: 3 million
Alcoholic cirrhosis: 300,000
HCC incidence: 1% (=3,000)

NASH: 9 million
NASH-cirrhosis: 900,000
HCC incidence: 2% (=18,000)

Chronic hepatitis B: 750,000
HBV-cirrhosis: 250,000
HCC incidence: 3% (=7,500)

Chronic hepatitis C: 2.7 million
HCV-cirrhosis: 540,000
HCC incidence: 4% (=21,600)

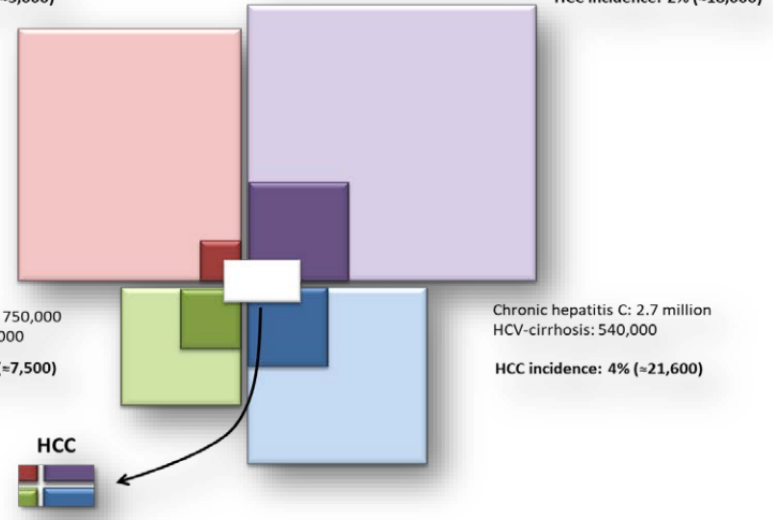
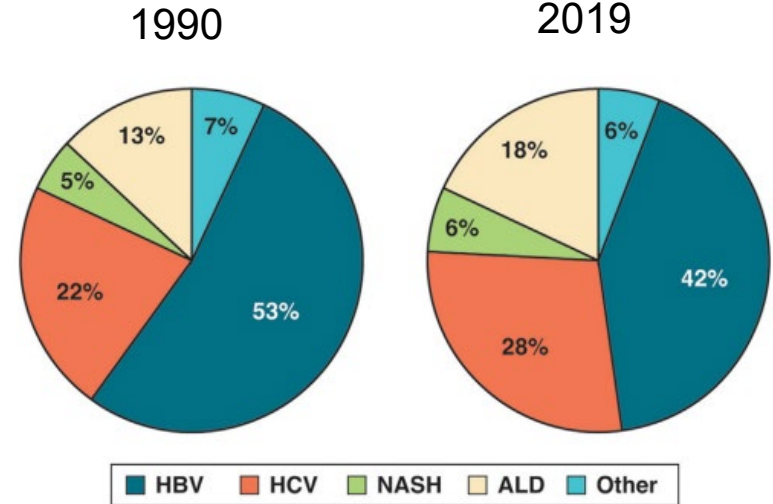
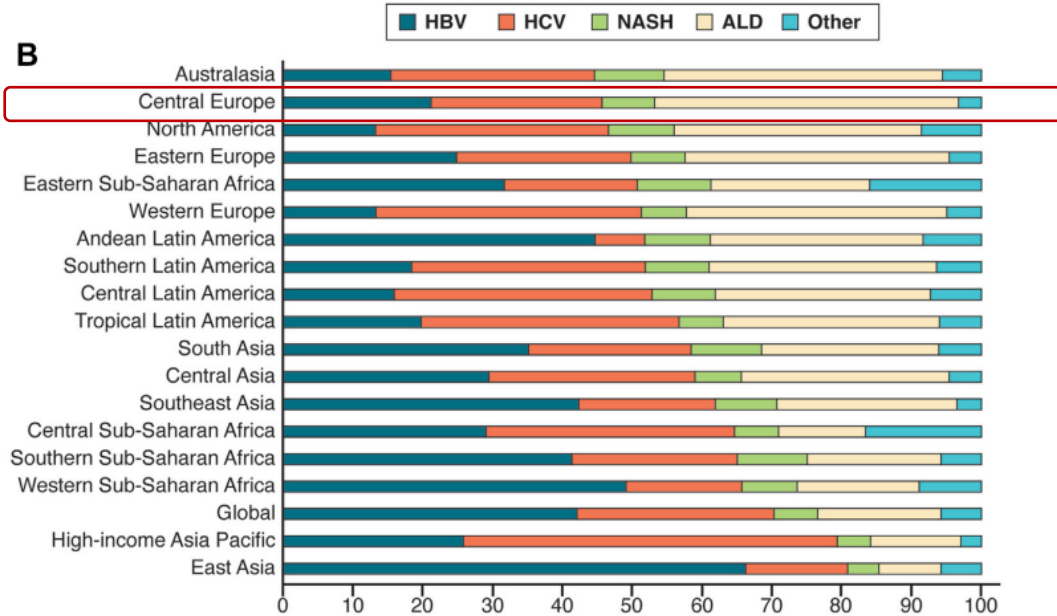


Figure 1. Relative contributions for HCC incidence from the most frequent causes of liver disease. HCC = hepatocellular carcinoma; NASH = non-alcoholic steato-hepatitis; HBV = hepatitis B virus; HCV = hepatitis C virus.

Prävention

Globale Unterschiede



Prävention

Risikofaktoren

- Genetische Prädispositionen

→ Alkoholbedingte Leberzirrhose:

Erhöhtes Risiko: TM6SF2-Variante rs58542926,
Phospholipase-PNPLA3-Variante rs738409

Protektiv: TERT: rs2242652(A)

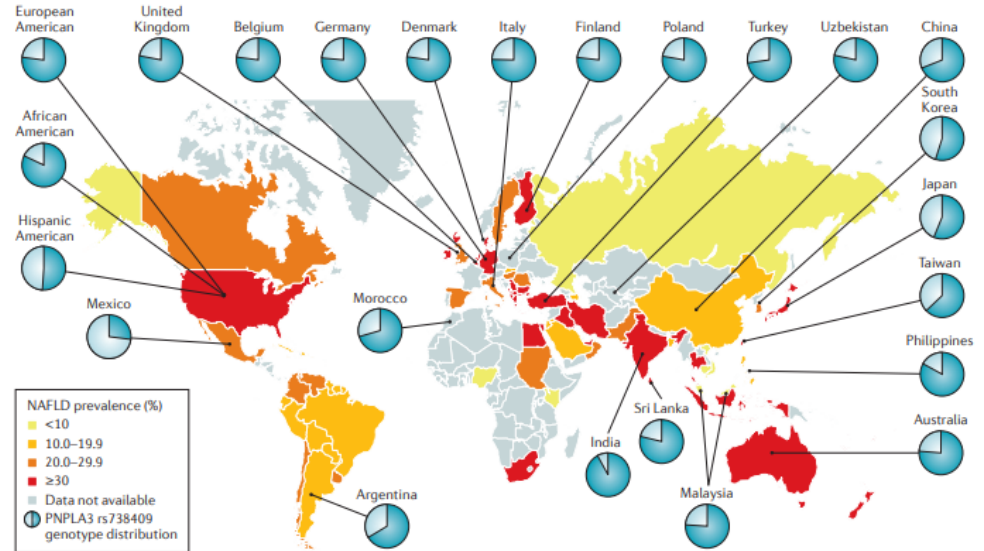


Figure 1 | Worldwide estimated prevalence of NAFLD and distribution of PNPLA3 genotypes. PNPLA3 is presented as minor allele frequency (light blue section of the pie chart).

Younossi Z et al Nat Rev Gastroenterology & Hepatology15, pages11–20 (2018)

Prävention

Risikofaktoren

- Leberzirrhose: jährliches Risiko ein HCC zu entwickeln: 2,5%

→Zirrhose + Hepatitis C : 3-8%

→Zirrhose + Hepatitis B: 2%

→Zirrhose bei MASLD/MASH: 0,004-7.6%

- HCC ohne vorherige Zirrhose:

→Hepatitis B / Hepatitis C: 0,12-1,3%

	Risk factor			
	Hepatitis C virus	Hepatitis B virus*	Alcohol	Other
Europe	60–70%	10–15%	20%	10%
North America	50–60%	20%	20%	10%
Asia and Africa†	20%	70%	10%	<10%‡

*Estimates from HbsAg carriers. Occult hepatitis B virus infection might involve additional patients. †Except Japan, for which hepatitis C virus 70%, hepatitis B virus 10–20%, alcohol 10%, other <10%. ‡Aflatoxin is main co-factor enhancing oncogenetic risk of patients with hepatitis B virus infection. Modified from reference 6.

Llovet LANCET • Vol 362 • December 6, 2003

Prävention

Vorbeugung und Früherkennung

- Schutzimpfung gegen Hepatitis B
- Behandlung der Ursachen einer chronischen Lebererkrankung, insbesondere Alkoholkarenz, Gewichtskorrektur bei Adipositas (Ramai, Aliment Pharmacol Ther 2021)
- Behandlung von Hyperlipidämien mit Statinen, insbesondere bei Vorliegen einer Phospholipase-PNPLA3-Variante rs738409 (Singh, Gastroenterology 2013; Simon, AIM 2019; Vell, JAMA-NO 2023)
- Metformin-Therapie bei nicht-insulinpflichtigem Diabetes mellitus (Chen, Gut 2013; Singal, NRCO 2023)
- Niedrig dosierte ASS zusätzlich zu Metformin (Simon, NEJM 2020; Singal, NRCO 2023)
- Antivirale Behandlung bei chronischer HBV-/HCV-Infektion mit und ohne HCC, bei Hepatitis C vorzugsweise mit Tenofovir (Ogawa, JAMA-IM 2023)

Prävention –nicht gesichert: retrospektive Daten

Vorbeugung und Früherkennung

- Zufuhr von ≥ 3 Tassen koffeinhaltigen Kaffees pro Tag: relative Risikoreduktion 41-50% (Kennedy, BMJ Open 2017; Bhurwal, J Gastrointestin Liver Dis 2020)
- Bei entkoffeiniertem Kaffee nicht belegt (Bhurwal)
- Für grünen Tee ebenfalls nicht belegt (Filippini T, Cochrane 2020)

Früherkennung

Vorbeugung und Früherkennung

- Screeninguntersuchung

→ Patienten mit Leberzirrhose:

→ Alle 6 Monate: Sonographie Abdomen plus AFP: Verbessert Überleben und Operabilität

→ AFP Bestimmung: AFP Werte ≥ 20 ng/mL: Sensitivität 49-71% Spezifität 49-86% für ein HCC <5 cm

→ AFP Bestimmung verbessert vermutlich Überleben (retrospektive koreanische Daten)

→ Patienten ohne Leberzirrhose

→ Hämochromatose: Screening ab Fibrosegrad 3 (METAVIR F3)

→ Hepatitis B: analog **PAGE B Score**:

<10 Punkte: neg. Vorhersage von 99%
ein HCC in den nächsten 5 Jahren

Altersgruppe (Punkte)	Geschlecht (Punkte)	Thrombozytenwert (Punkte)
16-29	0	welblich 0 >200/nl 0
30-39	2	männlich 6 100-199/nl 6
40-49	4	<100/nl 9
50-59	6	
60-69	8	
>70	10	

PAGE B Score Berechnung: J Hepatol. 2016

3

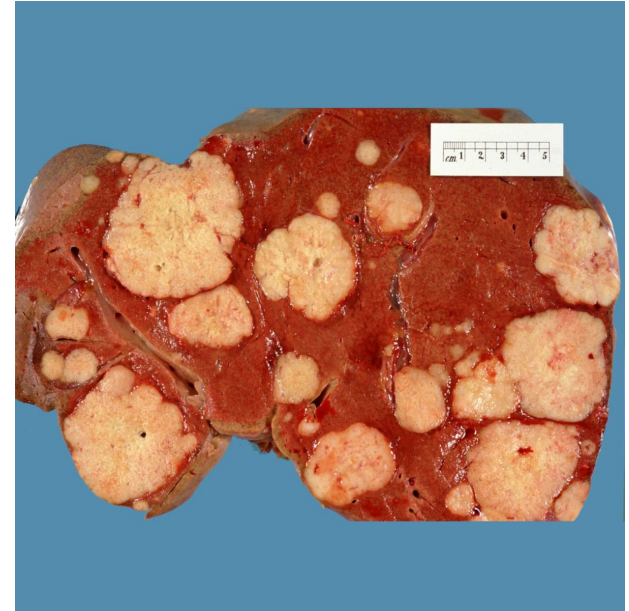
Klinisches Bild

Klinisches Bild

Keine Symptome im kurativen Frühstadium!

Spätstadium

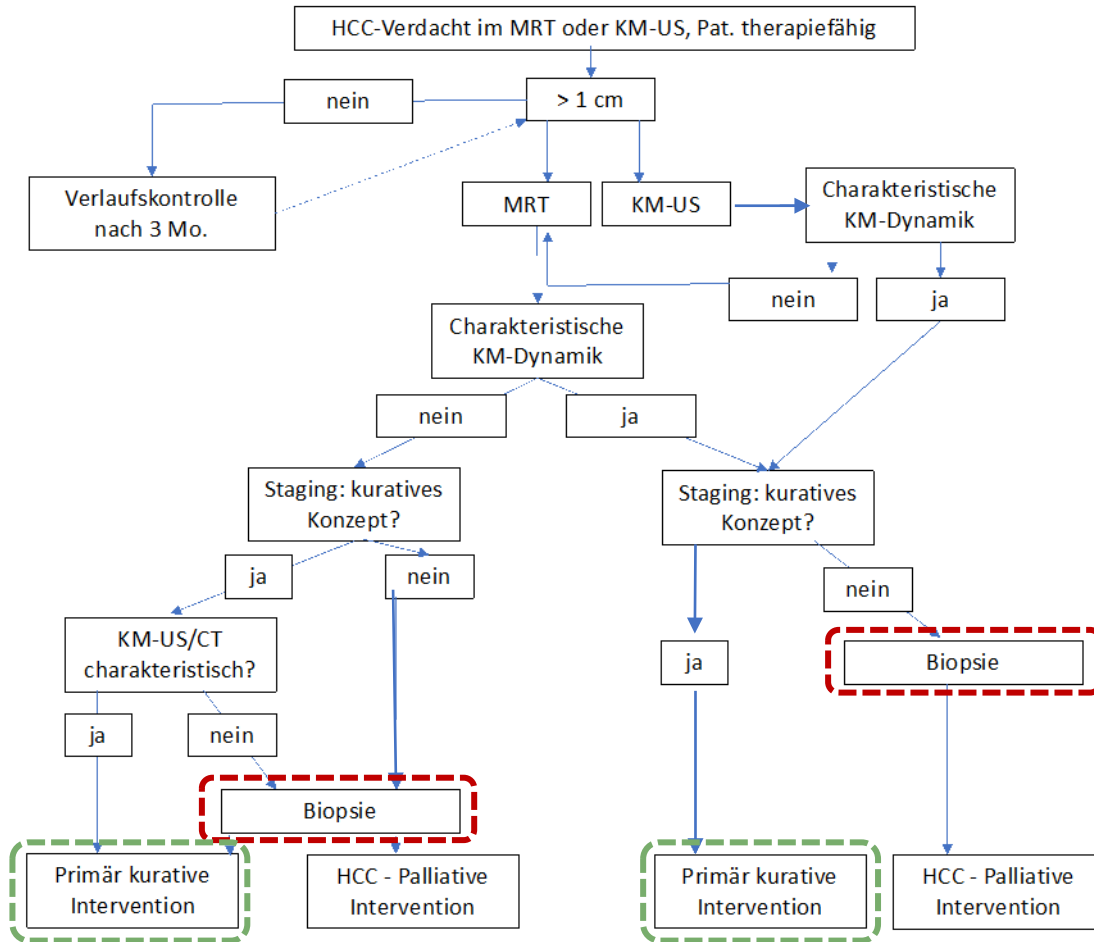
- Druckschmerz im Oberbauch
- Tastbare Schwellung unter dem rechten Rippenbogen
- Appetitlosigkeit, Übelkeit oder erhöhte Körpertemperatur ungeklärter Ursache
- Schwäche, Leistungsminderung
- Ungewollte Gewichtsabnahme
- Zunehmender Ikterus und Juckreiz
- Zunahme des Bauchumfangs durch Aszites (bereits fortgeschrittene Zirrhose)



Quelle: doccheck flexikon

4

Diagnostik



Diagnostik

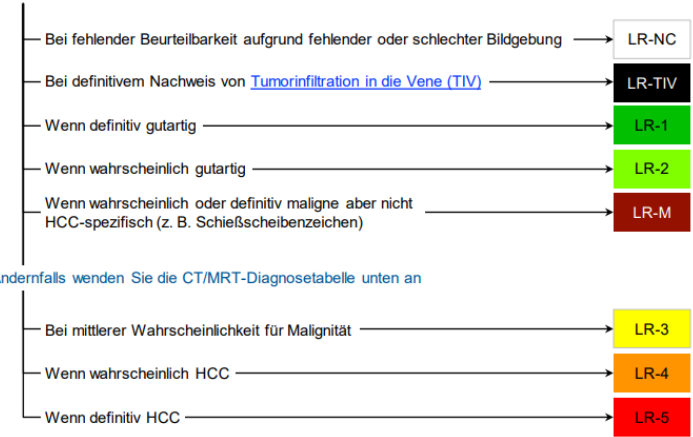
HCC-Kriterien in der bildgebenden Diagnostik

MRT Kriterien: LI-RADS (Liver Imaging Reporting and Data System)

- Tumorgöße
- Kontrastmitteldynamik (arterielle Phase und Auswaschphase)
- Kapselenhancement
- Wachstumsdynamik ($\geq 50\%$ Zunahme in ≤ 6 Monaten, $\geq 100\%$ Zunahme in > 6 Monaten, neue Raumforderung ≥ 10 mm)

→ CAVE: 9% falsch negative Beurteilungen!

Unbehandelte Observation ohne histologischen Nachweis bei [Patienten mit hohem HCC-Risiko](#)



CT/MRT Diagnosetabelle

Hyperenhancement in der arterielle Phase (APHE)		Kein APHE		APHE (kein Rim-Zeichen)		
Größe der Observation (mm)		< 20	≥ 20	< 10	10-19	≥ 20
Beachte Hauptmerkmale: • Anreichernde "Kapsel" • "Washout" (nicht peripher) • Schwellenwachstum	Keines	LR-3	LR-3	LR-3	LR-3	LR-4
	Eines	LR-3	LR-4	LR-4	LR-4	LR-5
	\geq zwei	LR-4	LR-4	LR-4	LR-5	LR-5

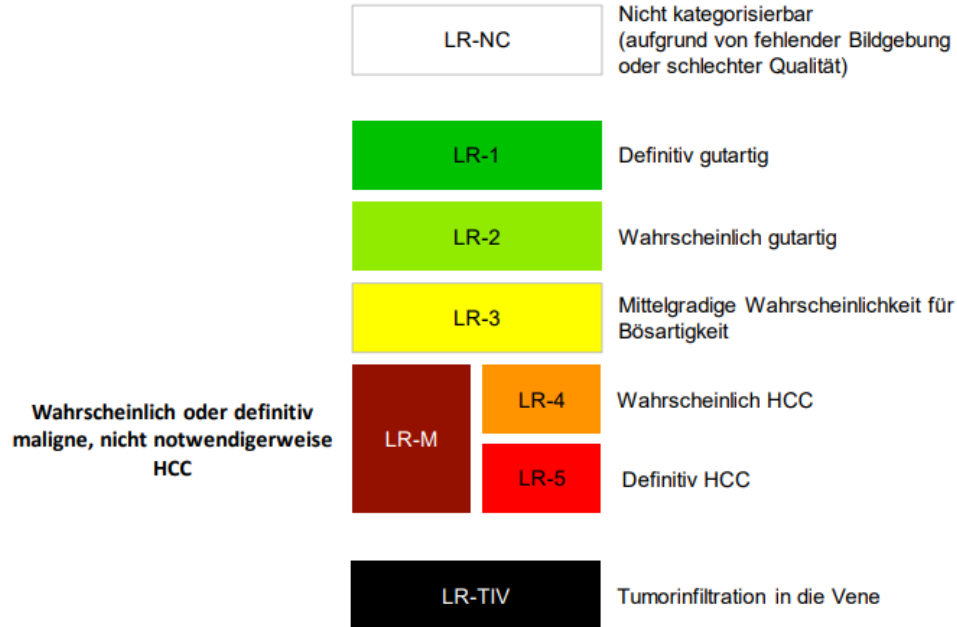
LR-4 **LR-5** Observations in dieser Kategorie werden nach zusätzlichem Hauptmerkmal kategorisiert:

- LR-4 - bei anreichernder Kapsel
- LR-5 - bei nicht-peripherem Washout oder Schwellenwachstum

<https://www.acr.org/-/media/ACR/Files/RADS/LI-RADS/Translations/LI-RADS-2018-CT-MRI-Core-German.pdf?la=en>

Diagnostik

HCC-Kriterien in der bildgebenden Diagnostik

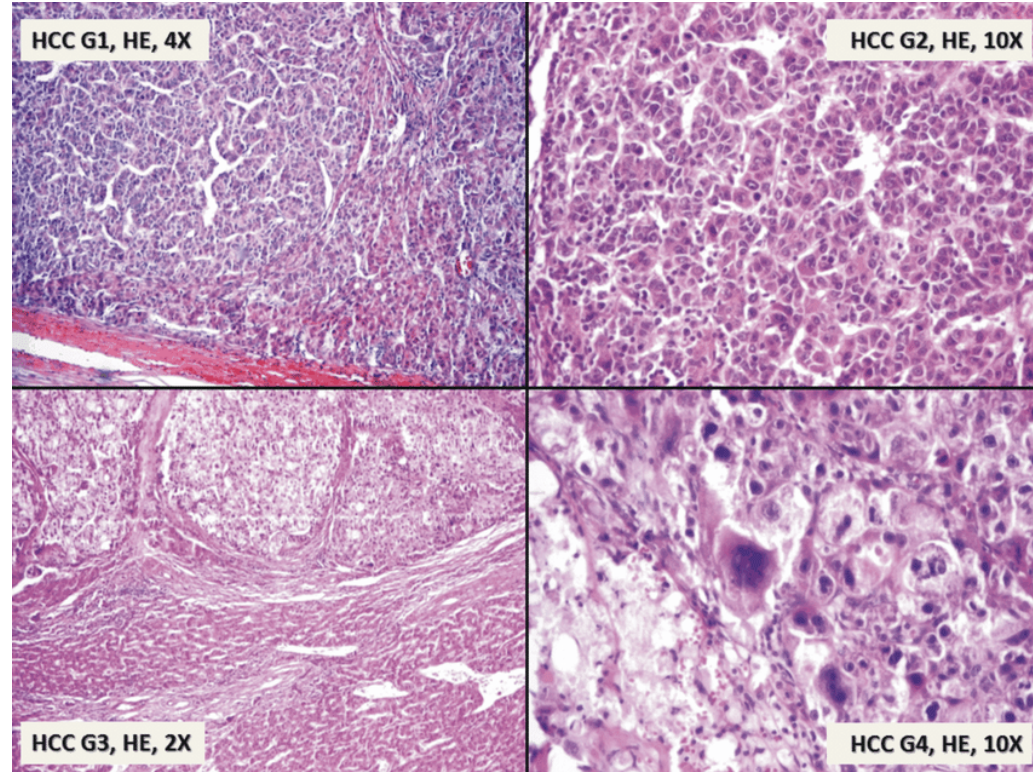


<https://www.acr.org/-/media/ACR/Files/RADS/LI-RADS/Translations/LI-RADS-2018-CT-MRI-Core-German.pdf?la=en>

Diagnostik

Histologie

- Typisierung nach aktueller WHO Klassifikation
- Sonderformen:
 - fibrolamelläres HCC
 - mischdifferenzierte Tumoren
- Im Zweifelsfall
 - Glypican, HSP70 und Glutaminsynthetase:
wenn ≥ 2 Marker positiv: Spezifität für HCC
100% (Di Tommaso 2009/ Tremosini2012)



Romanian Journal of Morphology and Embryology 53(3 Suppl):719-24

Diagnostik

Staging

Barcelona Stadien des HCC

Stage	Definition
Very early stage (0)	<ul style="list-style-type: none"> • Single ≤ 2 cm • Preserved liver function,^a PS 0
Early stage (A)	<ul style="list-style-type: none"> • Single, or ≤ 3 nodules each ≤ 3 cm • Preserved liver function,^a PS 0
Intermediate stage (B)	<ul style="list-style-type: none"> • Multinodular • Preserved liver function,^a PS 0
Advanced stage (C)	<ul style="list-style-type: none"> • Portal invasion and/or extrahepatic spread • Preserved liver function, PS 1-2
Terminal stage (D)	<ul style="list-style-type: none"> • Any tumor burden • End stage liver function, PS 3-4

PS = Pugh-Score

Reig, J Hepatol 2022

CHILD-Pugh Score

Chemical and Biochemical Parameters	Scores (Points) for Increasing Abnormality		
	1	2	3
Encephalopathy (grade) ¹	None	1–2	3–4
Ascites	Absent	Slight	Moderate
Albumin (g/dL)	>3.5	2.8–3.5	<2.8
Prothrombin time ²			
Seconds over control	<4	4–6	>6
INR	<1.7	1.7–2.3	>2.3
Bilirubin (mg/dL)	<2	2–3	>3
• For primary biliary cirrhosis	<4	4–10	>10

Class A = 5–6 points; Class B = 7–9 points; Class C = 10–15 points.

Class A: Good operative risk

Class B: Moderate operative risk

Class C: Poor operative risk

Pugh, Br J Surg 1973

5

Therapie

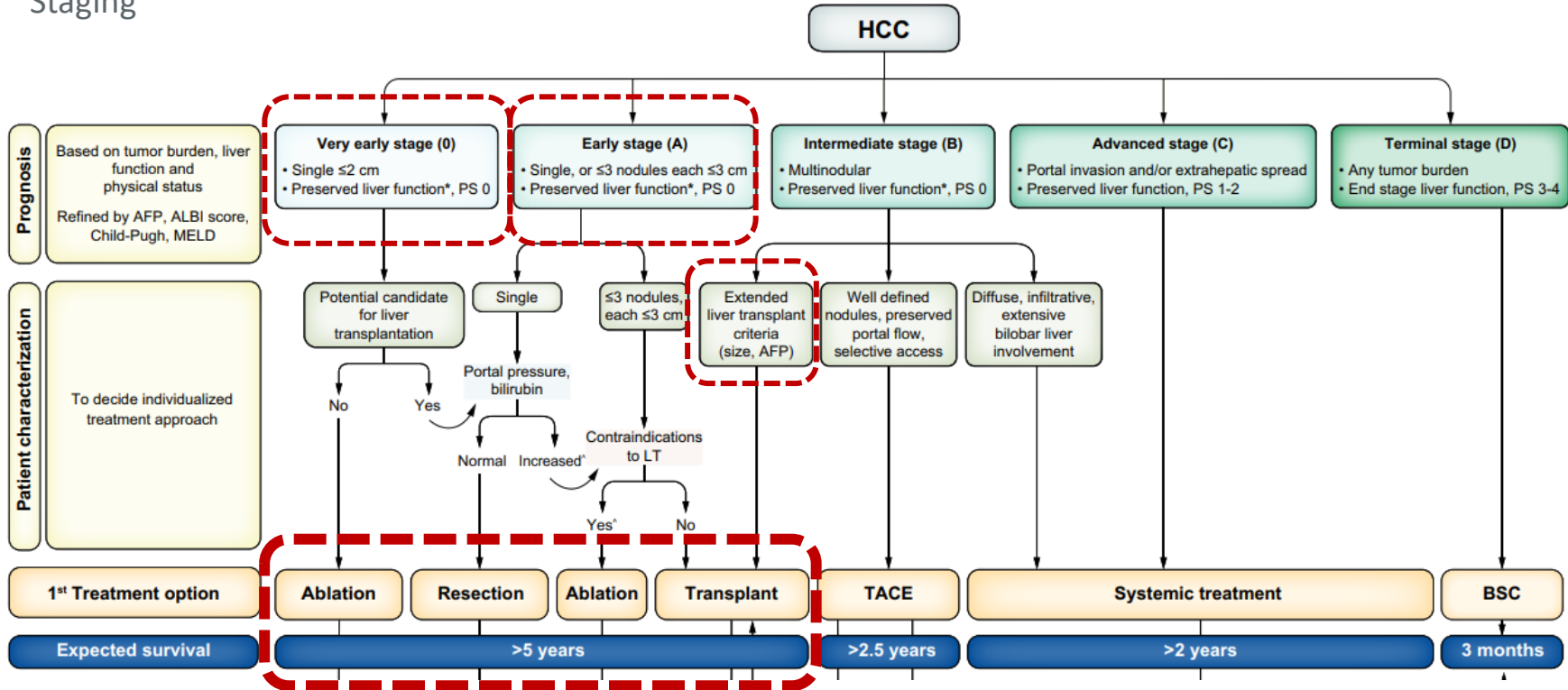
Therapie des HCC

Vorstellung im Tumorboard assoziiert zu einem Lebertransplantationszentrum!



Therapiealgorithmus

Staging



Therapie HCC

Ablation: Herde bis 3cm Durchmesser

Table 2. Cure proportions and years of life lost (YLLs) resulting from flexible parametric cure model.

Variables	Proportion cured (95% C.I.)	p	Median age (IQR)	Median YLL (IQR)	p
Age					
<60 years	19.0% (15.7, 22.7)	Ref.	52 (47, 56)	23.7 (21.1, 27.7)	Ref.
60–70 years	17.4% (13.9, 21.3)	0.470	65 (62, 68)	15.4 (13.1, 17.2)	0.001
71–80 years	17.2% (12.6, 22.5)	0.510	74 (72, 77)	9.4 (7.8, 10.6)	0.001
>80 years	23.4% (10.6, 39.3)	0.555	83 (81, 85)	4.4 (3.5, 4.9)	0.001
Gender					
Male	16.9% (14.2, 19.8)	Ref.	61 (53, 69)	17.4 (12.1, 22.7)	Ref.
Female	23.0% (18.2, 28.1)	0.014	65 (56, 73)	16.6 (11.3, 22.7)	0.144
Year of diagnosis					
2004–2008	14.7% (10.2, 20.2)	Ref.	62 (53, 69)	18.7 (13.6, 25.3)	Ref.
2009–2013	17.5% (14.3, 21.1)	0.346	61 (52, 69)	18.0 (12.5, 23.9)	0.206
2014–2018	20.5% (16.8, 24.4)	0.056	62 (54, 70)	16.1 (11.4, 21.7)	0.001
Hepatitis B					
Negative	20.1% (16.8, 23.6)	Ref.	67 (59, 73)	14.7 (10.2, 19.9)	Ref.
Positive	16.1% (13.0, 19.5)	0.043	57 (50, 65)	20.0 (15.0, 25.1)	0.001
Hepatitis C					
Negative	19.3% (16.4, 22.3)	Ref.	61 (52, 69)	17.2 (12.3, 23.5)	Ref.
Positive	14.4% (10.6, 18.8)	0.033	64 (57, 74)	16.6 (10.2, 22.4)	0.001
Alcohol					
Negative	18.6% (15.9, 21.6)	Ref.	61 (53, 70)	17.6 (12.0, 23.4)	Ref.
Positive	15.8% (10.9, 21.6)	0.323	65 (58, 69)	15.5 (12.1, 20.4)	0.002

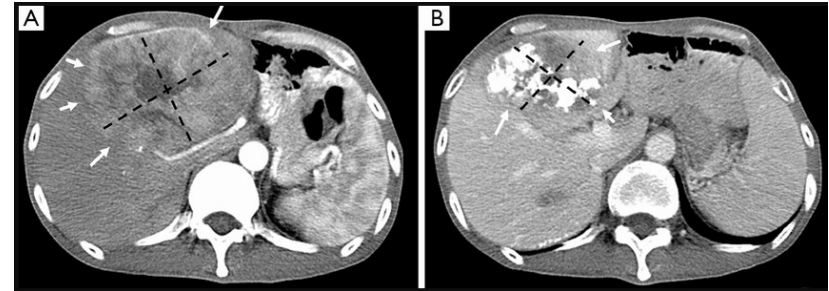
ALBI grade					
1	23.8% (19.8, 28.0)	Ref.	60 (51, 69)	16.5 (11.7, 22.6)	Ref.
2	14.8% (12.0, 18.0)	0.001	63 (56, 71)	17.0 (12.2, 22.9)	0.573
3	12.0% (6.8, 18.9)	0.003	61 (53, 69)	20.0 (13.5, 25.4)	0.002
Ablation technique					
RFA	18.5% (15.8, 21.5)	Ref.	61 (53, 69)	17.6 (12.2, 23.4)	Ref.
MWA	16.7% (11.7, 22.3)	0.498	67 (59, 71)	15.7 (11.5, 20.2)	0.001
Largest tumour size					
<2 cm	26.9% (21.7, 32.3)	Ref.	62 (53, 70)	15.1 (10.6, 20.9)	Ref.
2–3 cm	19.2% (15.8, 23.0)	0.007	61 (54, 70)	17.4 (12.0, 22.5)	0.006
3.1–5 cm	12.7% (9.5, 16.4)	0.001	63 (55, 70)	17.5 (12.5, 23.8)	0.001
>5 cm	4.6% (1.9, 9.4)	0.001	56 (48, 67)	23.7 (16.2, 31.2)	0.001
Tumour number					
Single	20.8% (17.8, 24.0)	Ref.	62 (53, 70)	16.7 (11.8, 22.4)	Ref.
2 or 3 nodules	11.5% (8.1, 15.5)	0.001	62 (55, 70)	18.3 (12.2, 24.2)	0.037
4+ nodules	2.5% (0.7, 6.3)	0.001	63 (57, 69)	19.5 (14.6, 24.6)	0.012
Very-early stage					
Within	30.9% (24.9, 37.1)	Ref.	61 (53, 70)	14.5 (9.9, 20.4)	Ref.
Beyond	15.4% (12.8, 18.2)	0.001	62 (54, 70)	17.7 (12.3, 23.7)	0.001
Milan criteria					
Within	20.7% (17.7, 23.8)	Ref.	62 (54, 70)	16.5 (11.5, 22.2)	Ref.
Beyond	5.2% (3.0, 8.1)	0.001	60 (52, 68)	20.8 (14.5, 26.9)	0.001

Variables affecting cure proportion entered into the multivariable flexible parametric model. Variables affecting YLLs were used through the generalised linear model to produce approximated YLLs values. Very-early stage and Milan criteria were not entered in the models because their components (size and number) were already retained.

Therapie HCC

TACE

- Prinzipiell palliative Therapieoption
- Bridging zur LTX
- kann mehrfach sequentiell durchgeführt werden
- Alternativ zur TACE kann bei Pat. mit erhaltener Leberfunktion im intermediären HCC-Stadium eine transarterielle Radioembolisation mit 90-Yttrium-Mikrosphären (TARE oder SIRT) → Nur Metaanalysen!



Therapie HCC

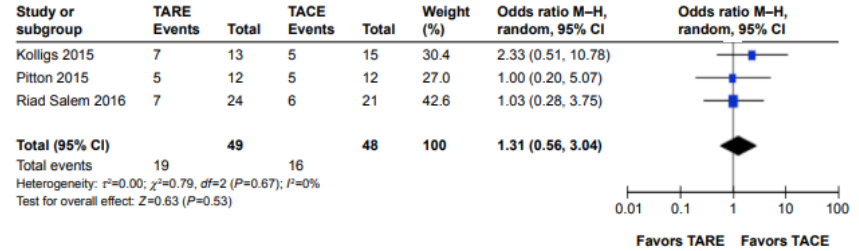
SIRT / TARE vs. TACE

Table 1 Patient characteristics in the three randomized clinical trials

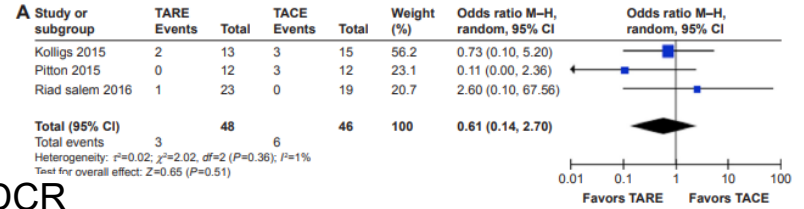
Trial	SIRTACE ^a		Mainz ²		PREMIERE ^b		
	TARE n=13	TACE n=15	TARE n=12	TACE n=12	TARE n=24	TACE n=21	
Age, years	65.8	66.7	71.8	70.5	62	64	
Males, %	84.6	86.7	83.4	75	71	76	
ECOG, n (%)	0 I	10 (76.9) 3 (23.1)	12 (80.0) 3 (20.0)	12 (100) 0 (0)	12 (100) 0 (0)	24 (100) 0 (0)	21 (100) 0 (0)
Child-Pugh class, n (%)	A B	12 (92.3) 1 (7.7)	13 (86.6) 2 (13.4)	10 (83.3) 2 (16.7)	9 (75) 3 (25)	18 (75) 6 (25)	17 (81) 4 (19)
BCLC stage, n (%)	A B C	5 (38.4) 5 (38.4) 3 (23.0)	4 (26.6) 8 (53.3) 3 (20.0)	13 (86.6) 2 (13.4) 0 (0)	10 (83.3) 2 (16.7) 0 (0)	18 (75) 6 (25) 0 (0)	17 (81) 4 (19) 0 (0)
Bilobar disease	ND	ND	8 (67)	7 (58)	7 (29)	7 (33)	
Tumor size, mm	ND	ND	61.3 (36.4)*	60.8 (37.6)*	32 (27-37)	30 (23-36)	
Tumor volume, mL	137.7 (237.6)*	235.6 (349.4)*	ND	ND	ND	ND	
Total bilirubin (mg/dL)	1.00 (0.60)*	1.08 (0.45)*	1.17 (0.38-2.10)	1.26 (0.59-2.04)	1.3 (1.2-1.7)	0.9 (0.8-1.5)	
Albumin (g/L)	36.3 (3.9)*	42.0 (8.0)*	34.1 (28-43)	31.9 (24-39)	31 (27-33)	32 (29-34)	
AFP (ng/mL)	636.0 (2,171.8)*	2,624.7 (9,525.3)*	14.0 (6.2-32,346)	7.8 (2.7-1,847)	<200: 88% >200: 10%	<200: 90% >200: 12%	

Notes: *Mean (SD). Values are expressed as median (IQR) unless otherwise indicated. Data from Salem R et al; Pitton MB; Kolligs FT.¹⁻³
Abbreviations: AFP, alpha-fetoprotein; BCLC, Barcelona Clinic Liver Cancer; ECOG, Eastern Cooperative Oncology Group; ND, not determined; TACE, transarterial chemoembolization; TARE, transarterial radioembolization.

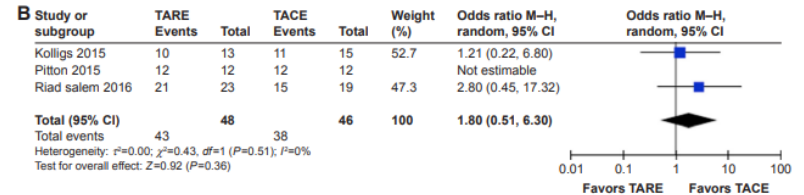
1-Jahres-Überleben



DFS



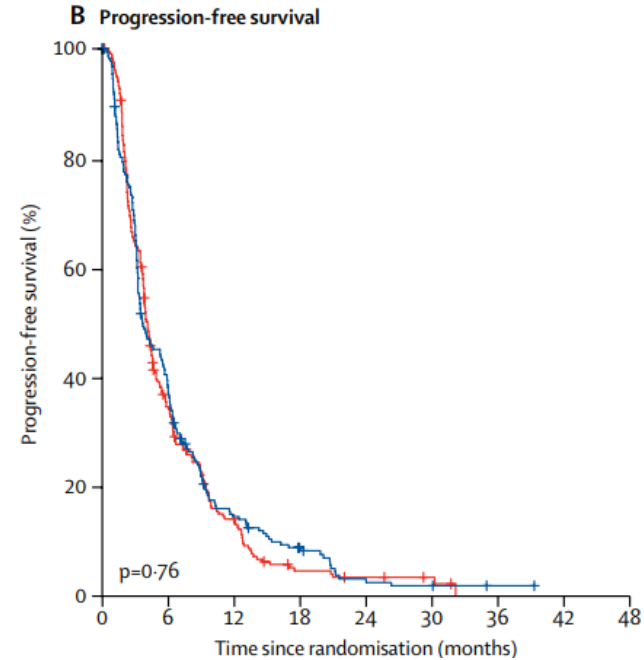
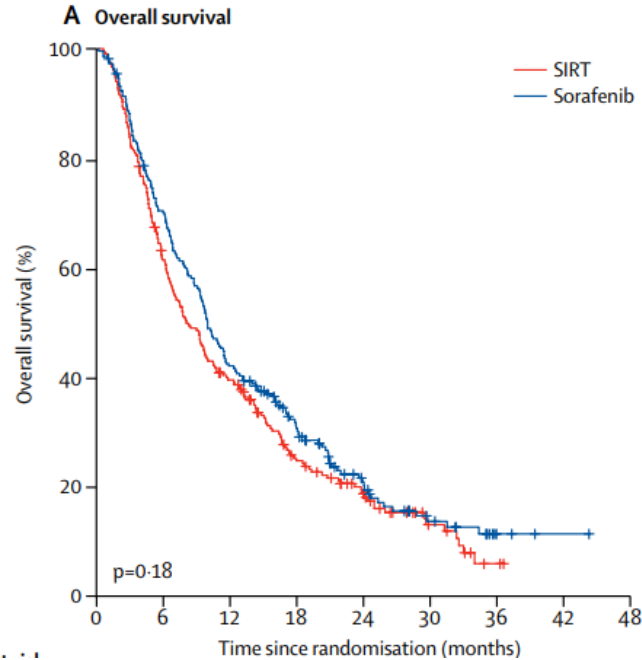
DCR



Cucchetti British Journal of Cancer (2023) 128:1665 – 1671

Therapie HCC

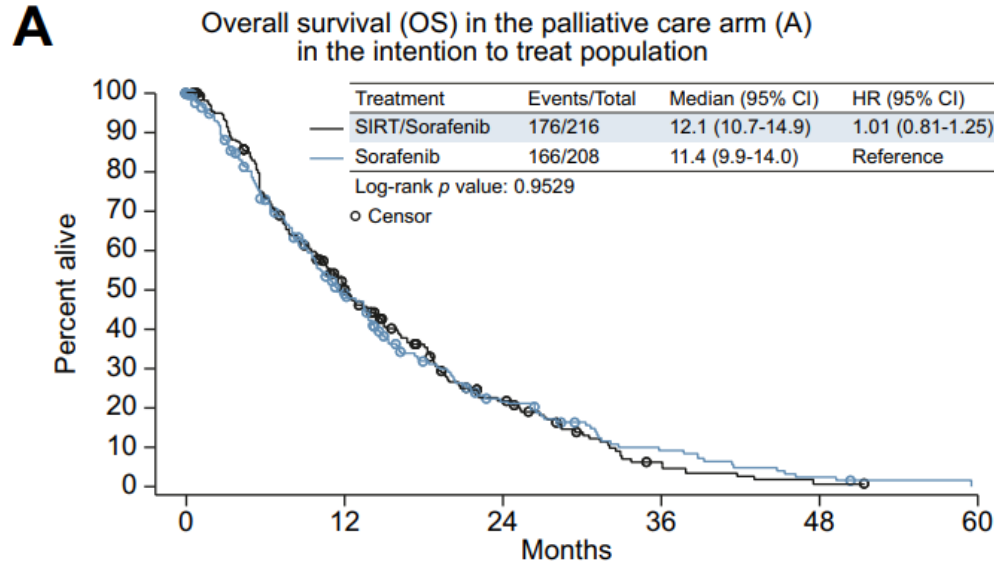
SIRT in der palliativen Situation Phase-3 SARAH Studie



Vilgrain et al Lancet Oncol 2017; 18: 1624–36

Therapie HCC

SIRT in der palliativen Situation Phase-3 SORAMIC Studie

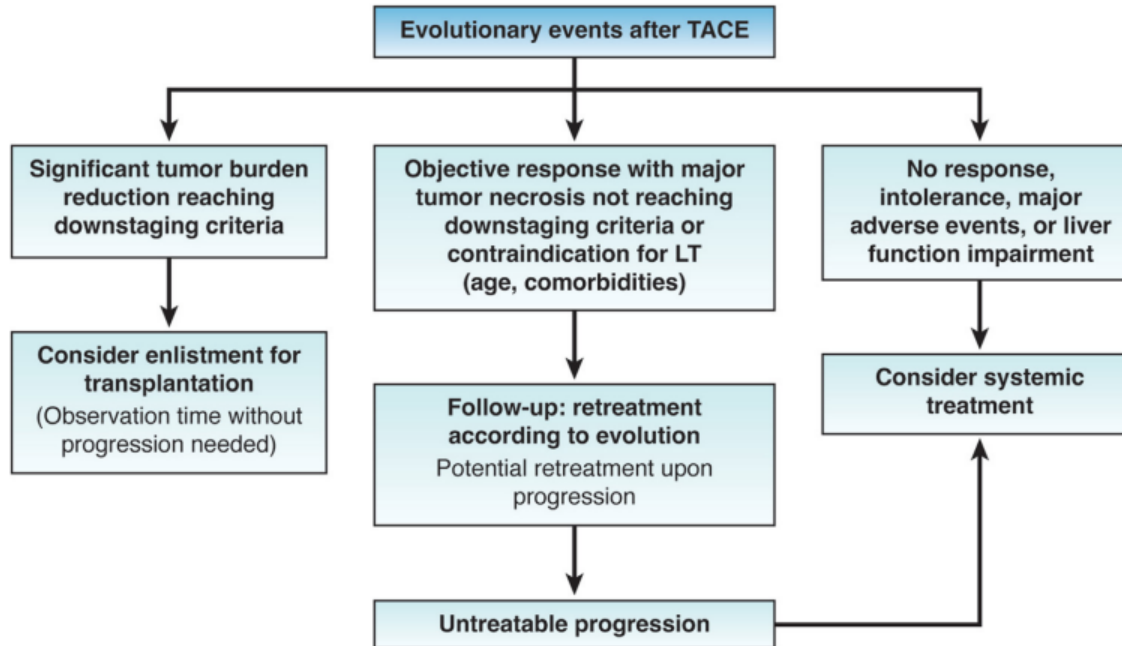


Patients-at-risk					
SIRT					
/Sorafenib	216	99	33	7	1
Sorafenib	208	86	30	11	3

Vilgrain et al Lancet Oncol 2017; 18: 1624–36

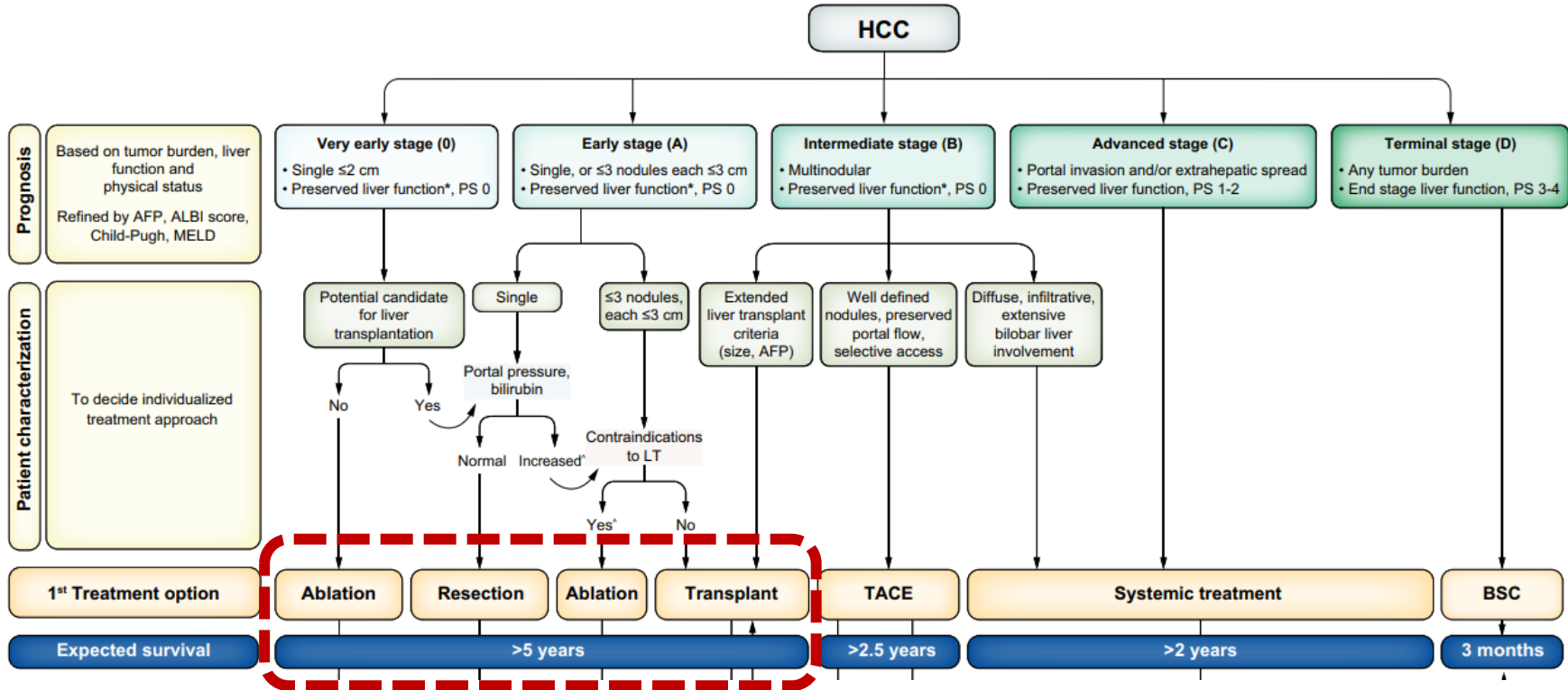
Was tun nach TACE?

Lokales HCC



Singal et al Clinical Gastroenterology and Hepatology 2023;21:2135–2149

Therapiealgorithmus

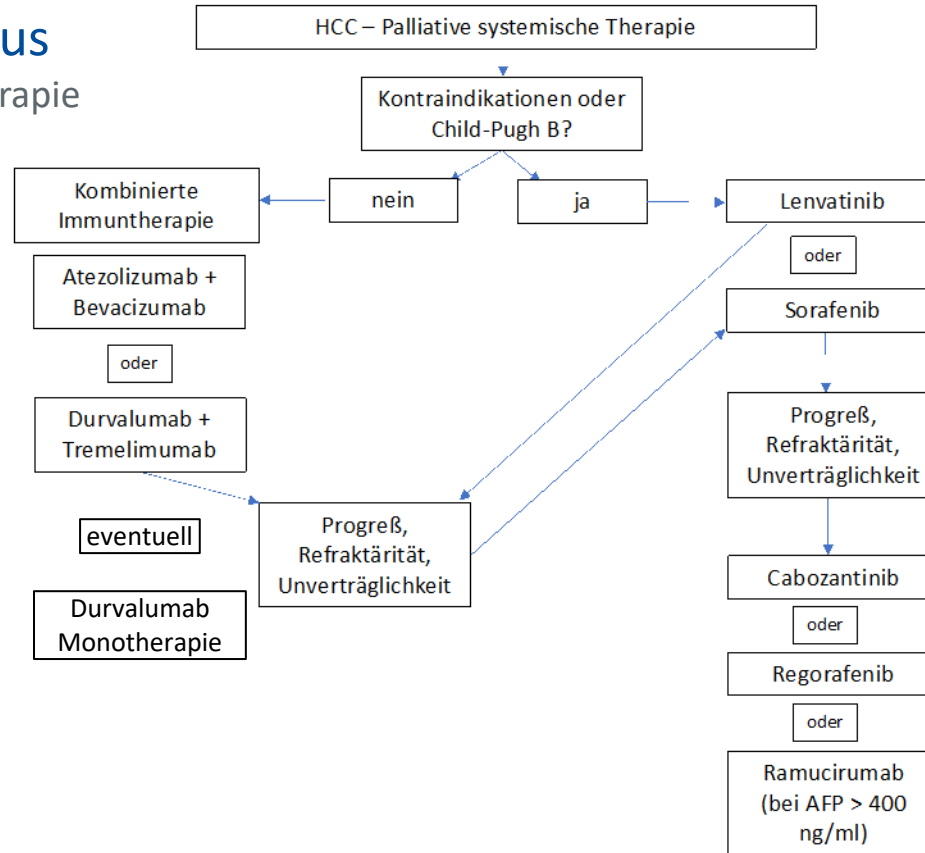


5a

Erstlinienlinientherapie

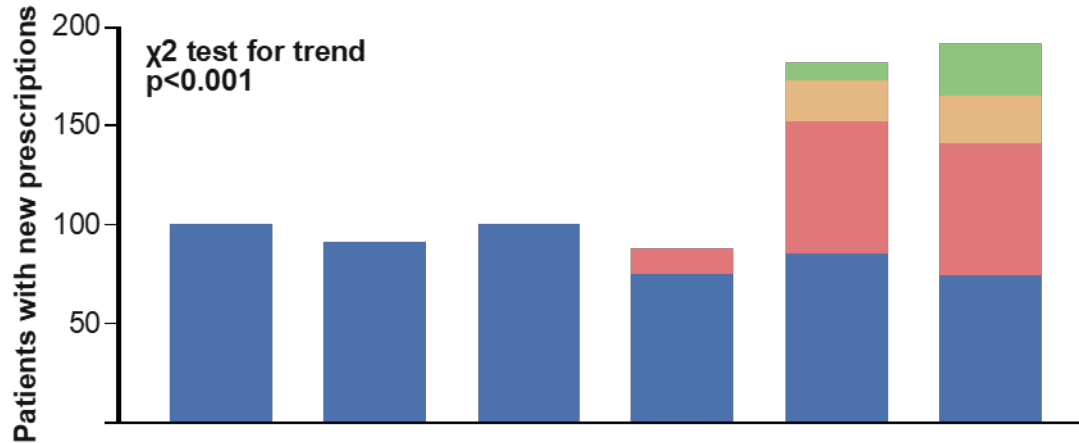
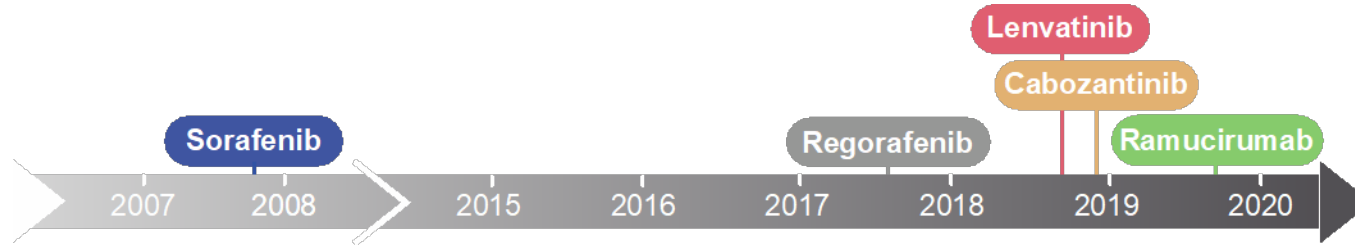
Therapiealgorithmus

Palliative systemische Therapie



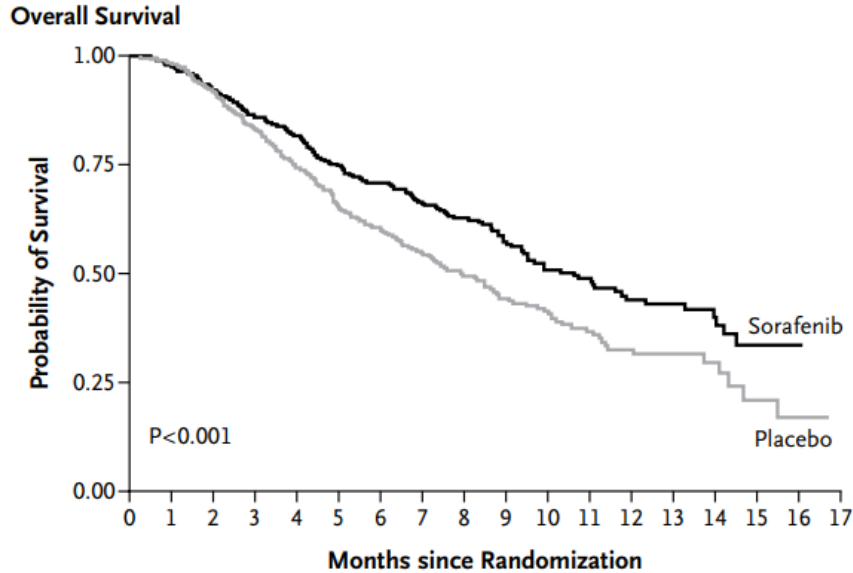
Therapiealgorithmus

Palliative systemische Therapie

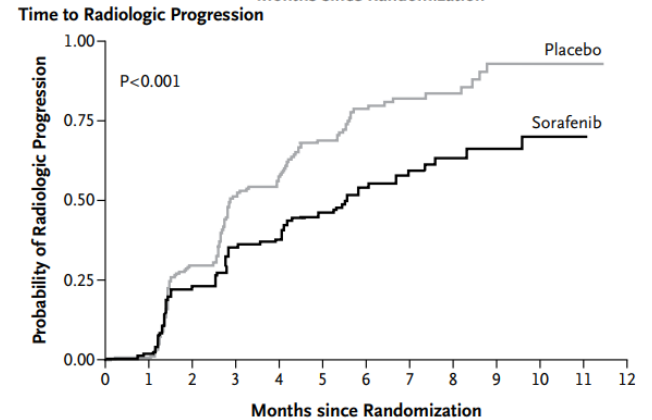
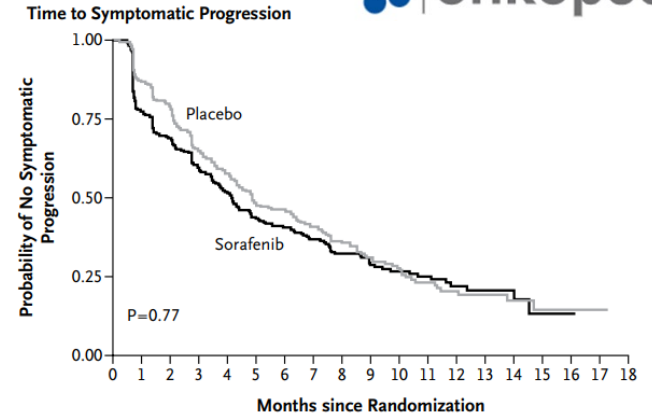


Palliative systemische Therapie - Erstlinie

Sorafenib SHARP Studie



medianes OS: 10,7mo vs. 7.9mo



Llovet et al N Engl J Med 2008;359:378-90.

Palliative systemische Therapie - Erstlinie

Andere TKI's: Studien 2007-2017

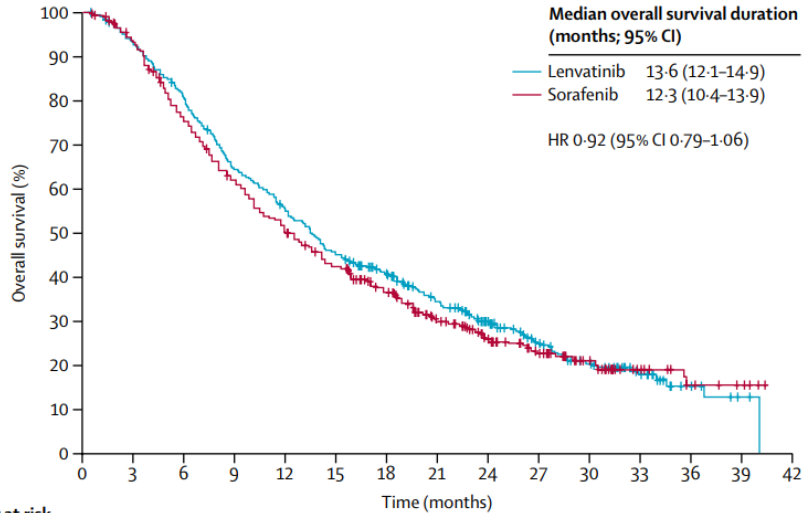
Table 1. Phase III trials in advanced hepatocellular carcinoma conducted in the last decade.

Trial	Arms	N	ORR	TTP		PFS		OS	
				Median	HR	Median	HR	Median	HR
First-line SHARP ⁷	Sorafenib	299	2.3	5.5	0.58 (0.45–0.74)		NR	10.7	0.69 (0.55–0.87)
	Placebo	303	0.7	2.8				7.9	
Asian-Pacific ⁸	Sorafenib	150	3.3	2.8	0.57 (0.42–0.79)		NR	6.5	0.68 (0.50–0.93)
	Placebo	76	1.3	1.4				4.2	
SUN1170 ⁹	Sunitinib	530	6.6	4.1	1.13 (0.98–1.31)	3.6	1.13 (0.99–1.30)	7.9	1.30 (1.13–1.50)
	Sorafenib	544	6.1	3.8		3		10.2	
BRISK-FL ¹⁰	Brivanib	577	12.0	4.2	1.01 (0.88–1.16)		NR	9.5	1.07 (0.94–1.23)
	Sorafenib	578	8.8	4.1				9.9	
LIGHT ¹¹	Linifanib	514	10.1	5.4	0.76 (0.64–0.90)	4.2	0.81 (0.70–0.95)	9.1	1.05 (0.90–1.22)
	Sorafenib	521	6.1	4		2.9		9.8	
SEARCH ¹²	Sorafenib + erlotinib	362	6.6	3.2	1.14 (0.94–1.37)	NR	1.11 (0.94–1.31)	9.5	0.93 (0.78–1.11)
	Sorafenib	476	9.2	3.7		3.7		12.3	
SARAH ¹⁴	Y90	237	15.2		NR	4.1	1.03 (0.85–1.25)	8	1.15 (0.94–1.41)
	Sorafenib	222	10.4			3.7		9.9	
SIRveNIB ¹⁵	Y90	182	16.5	6.1	0.88 (0.7–1.1)	5.8	0.89 (0.70–1.10)	8.8	1.10 (0.90–1.40)
	Sorafenib	178	1.7	5.4		5.1		10	
EACH ¹⁶	Folfox4	184	8.2		NR	2.93	0.62 (0.49–0.79)	6.4	0.80 (0.63–1.02)
	Doxorubicin	187	2.7			1.77		4.97	
CALGB80802 ¹⁷	Sorafenib + doxorubicin	173	NR		NR	3.6	0.90 (0.72–1.20)	9.3	1.06 (0.80–1.40)
	Sorafenib	173	NR			3.2		10.5	
SILIUS ¹⁸	Sorafenib + HAIC	103	36.3	5.3	0.65 (0.48–0.87)	4.8	0.75 (0.57–1.00)	11.8	1.01 (0.74–1.37)
	Sorafenib	103	17.5	3.5		3.5		11.5	

Palliative systemische Therapie - Erstlinie

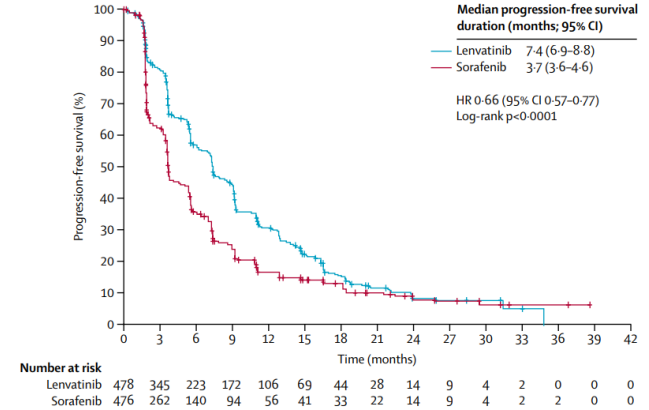
Levatinib – REFLECT Studie

Overall Survival



Number at risk

	0	3	6	9	12	15	18	21	24	27	30	33	36	39	42
Lenvatinib	478	436	374	297	253	207	178	140	102	67	40	21	8	2	0
Sorafenib	476	440	348	282	230	192	156	116	83	57	33	16	8	4	0

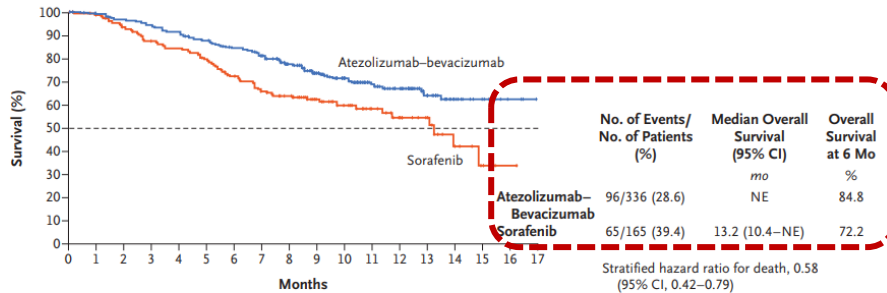


	Lenvatinib (n=478)	Sorafenib (n=476)	Effect size (95% CI)	p value
Investigator review according to mRECIST				
Overall survival (months)	13.6 (12.1-14.9)	12.3 (10.4-13.9)	HR 0.92 (0.79-1.06)	..
Progression-free survival (months)	7.4 (6.9-8.8)	3.7 (3.6-4.6)	HR 0.66 (0.57-0.77)	<0.0001
Time to progression (months)	8.9 (7.4-9.2)	3.7 (3.6-5.4)	HR 0.63 (0.53-0.73)	<0.0001
Objective response (%; 95% CI)	115 (24.1%; 20.2-27.9)	44 (9.2%; 6.6-11.8)	OR 3.13 (2.15-4.56)	<0.0001
Complete response	6 (1%)	2 (<1%)
Partial response	109 (23%)	42 (9%)
Stable disease	246 (51%)	244 (51%)
Durable stable disease lasting ≥23 weeks	167 (35%)	139 (29%)
Progressive disease	71 (15%)	147 (31%)
Unknown or not evaluable	46 (10%)	41 (9%)
Disease control rate (%; 95% CI)	361 (75.5%; 71.7-79.4)	288 (60.5%; 56.1-64.9)

Palliative systemische Therapie - Erstlinie

Atezolizumab + Bevacizumab - IMbrave150

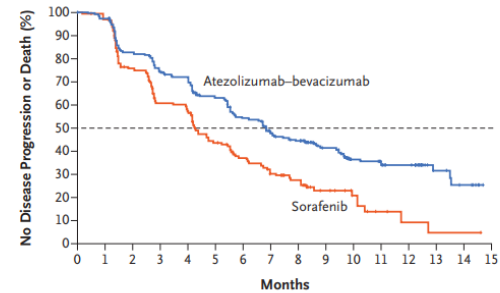
A Overall Survival



No. at Risk

Atezolizumab– bevacizumab	336	329	320	312	302	288	275	255	222	165	118	87	64	40	20	11	3	NE
Sorafenib	165	157	143	132	127	118	105	94	86	60	45	33	24	16	7	3	1	NE

B Survival without Disease Progression

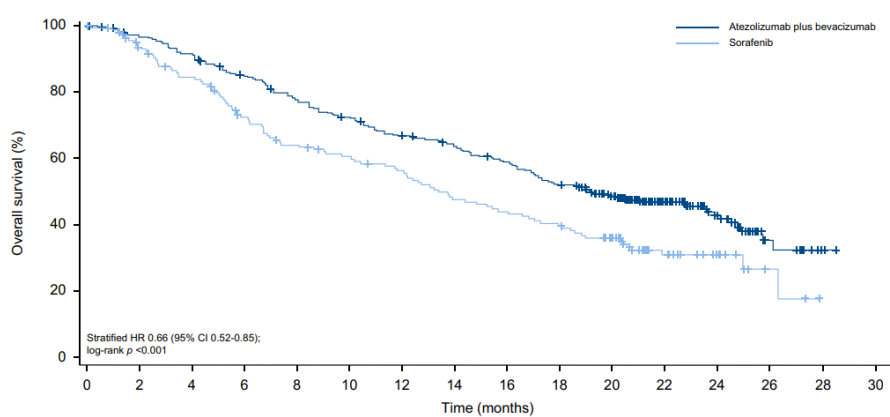


No. at Risk

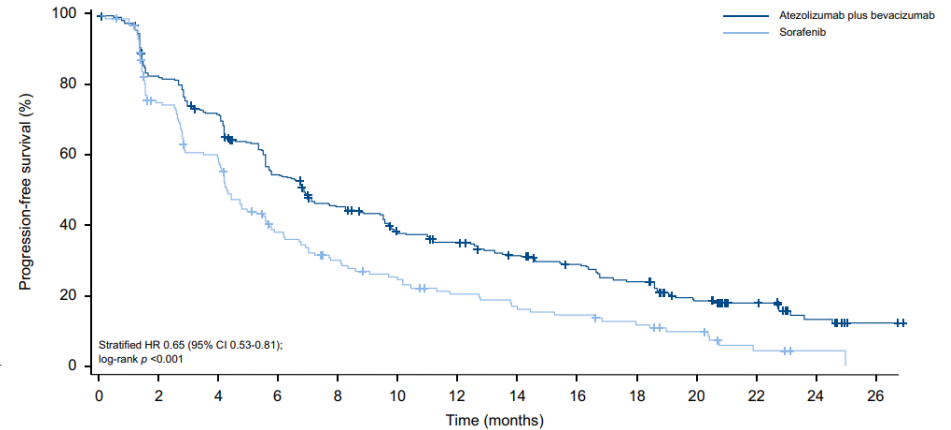
Atezolizumab– bevacizumab	336	322	270	243	232	201	169	137	120	74	50	46	34	11	7	NE
Sorafenib	165	148	109	84	80	57	44	34	27	15	9	4	2	1	NE	

Palliative systemische Therapie - Erstlinie

Atezolizumab + Bevacizumab - IMbrave150



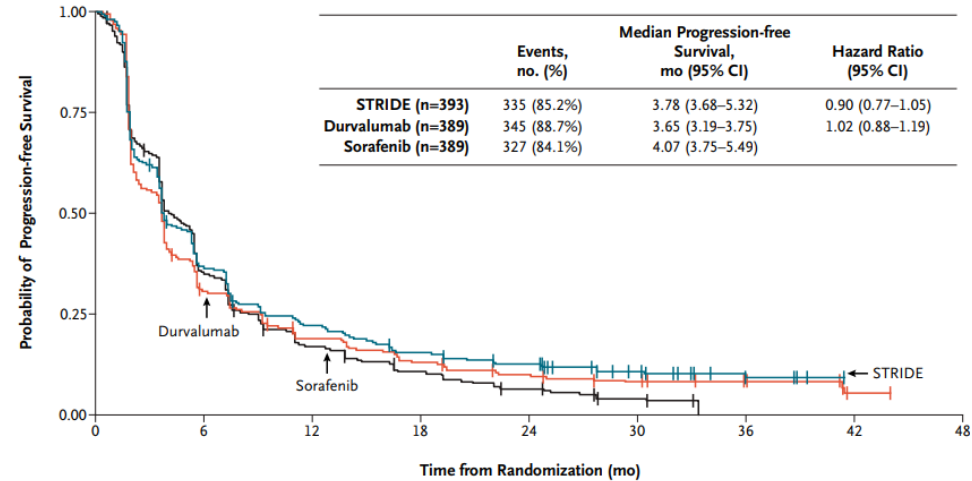
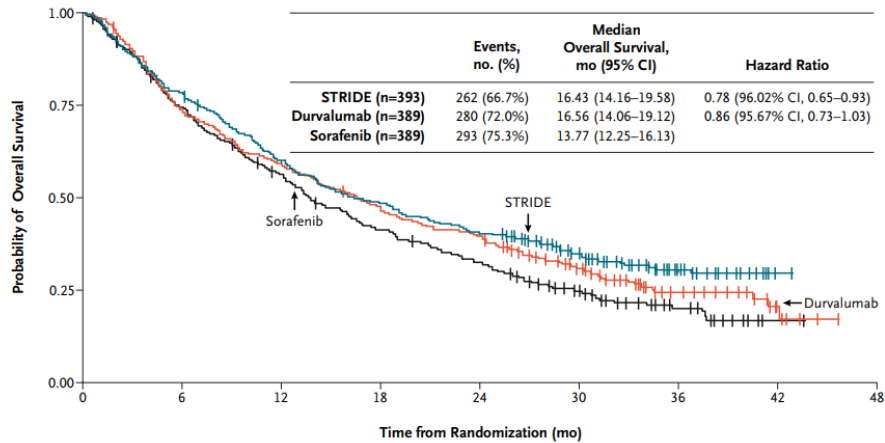
medianes OS: 19,2mo vs. 13,4mo



medianes PFS: 6,9mo vs. 4,3mo

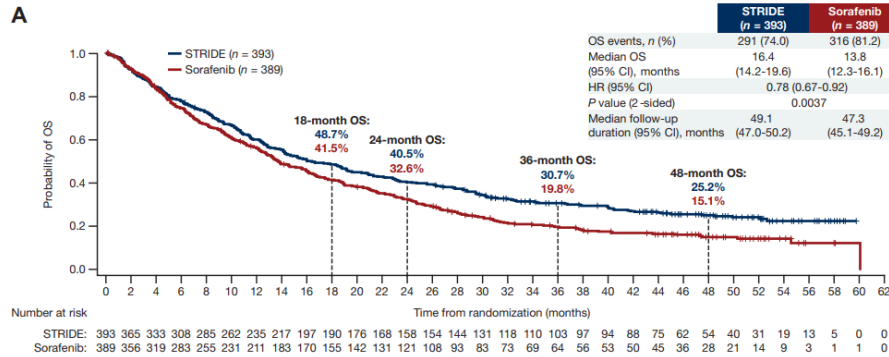
Palliative systemische Therapie - Erstlinie

Durvalumab + Tremelimumab – HIMALAYA Studie

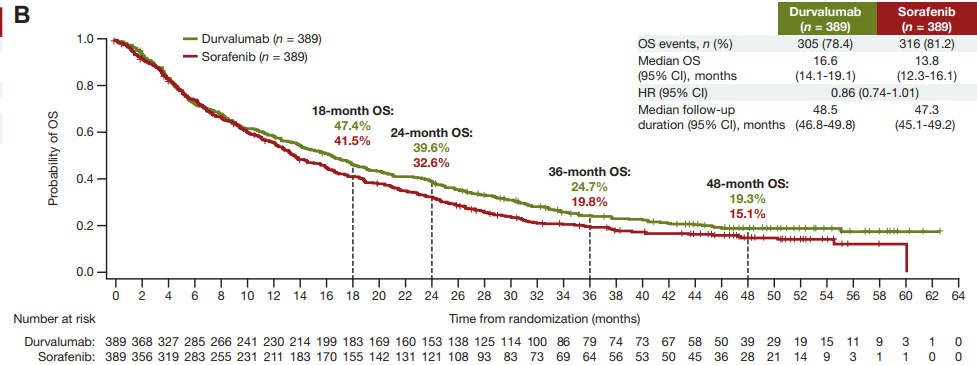


Palliative systemische Therapie - Erstlinie

Durvalumab + Tremelimumab – HIMALAYA Studie



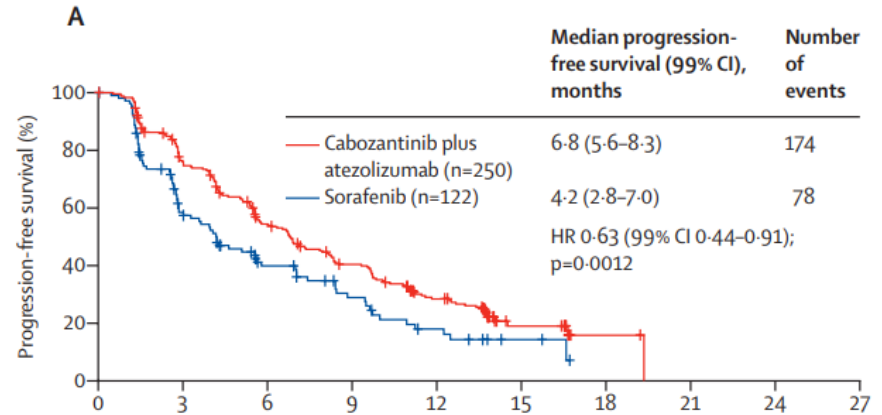
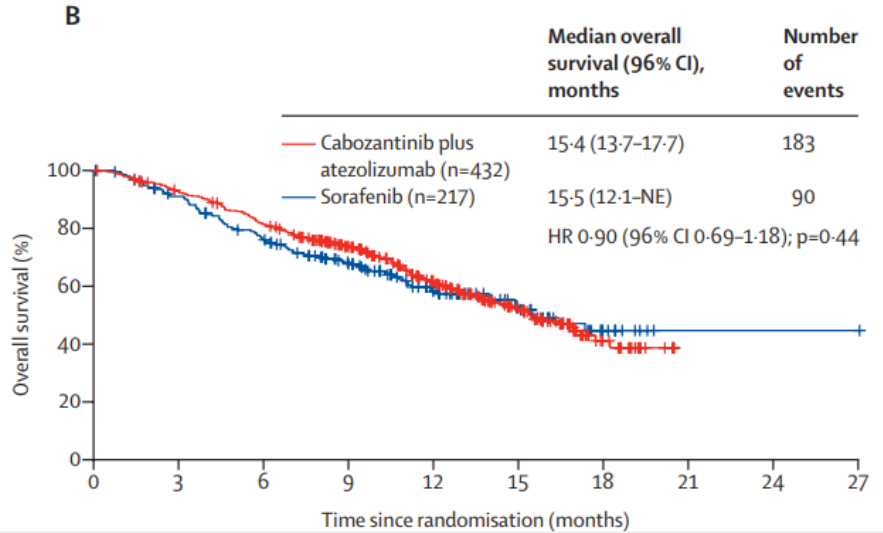
medianes OS: 16,4mo vs. 13.8mo



medianes PFS: 16,6mo vs. 13,8mo

Palliative systemische Therapie - Erstlinie

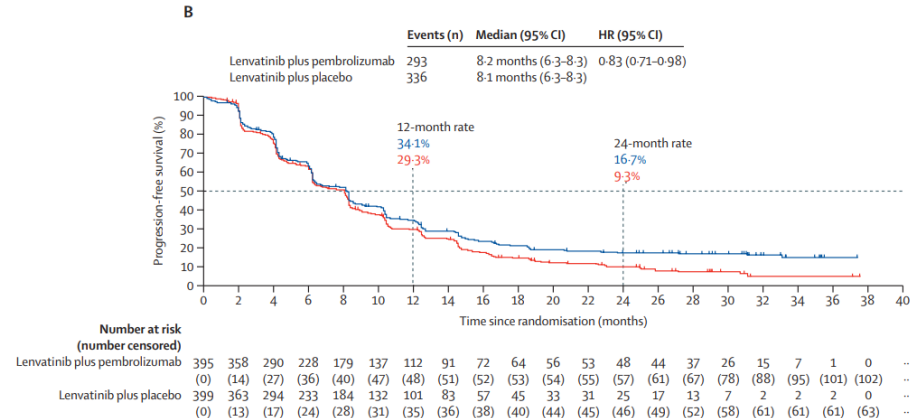
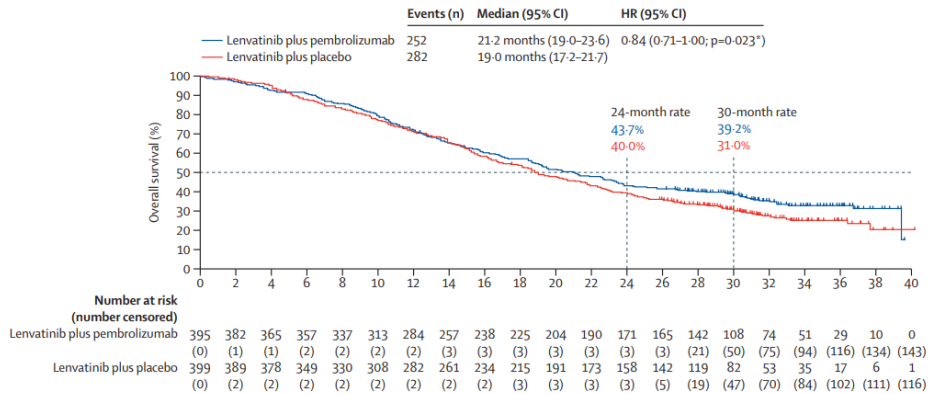
Cabozantinib + Atezolizumab – COSMIC-312 Studie



➔ Negative Studie!

Palliative systemische Therapie - Erstlinie

Levatinib + Pembrolizumab– LEAP-002 Studie



➔ Negative Studie!

5

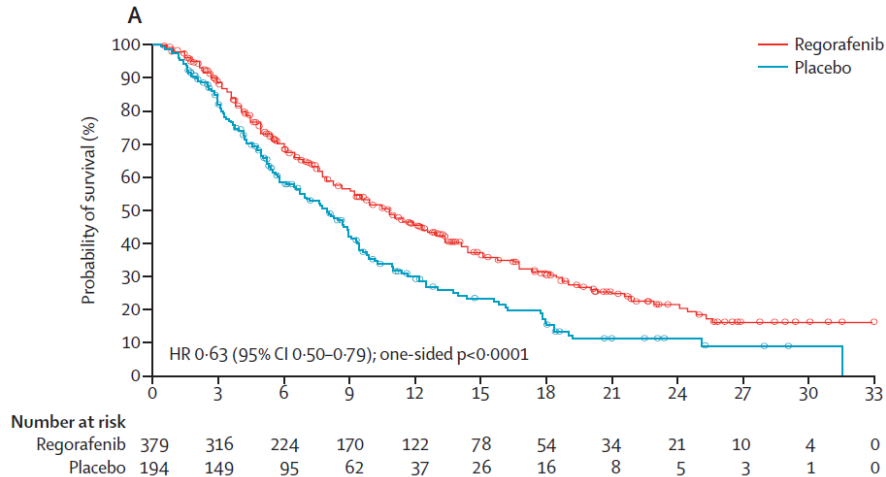
Zweitlinientherapie

b

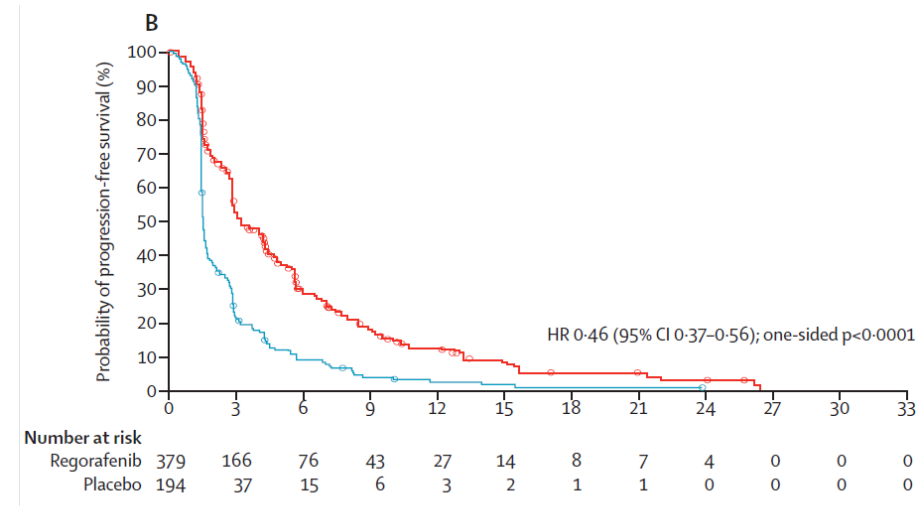
Palliative systemische Therapie – Zweitlinie

Regorafenib

→ Zugelassen nach Sorafenib



medianes OS: 10,6mo vs. 7,8mo



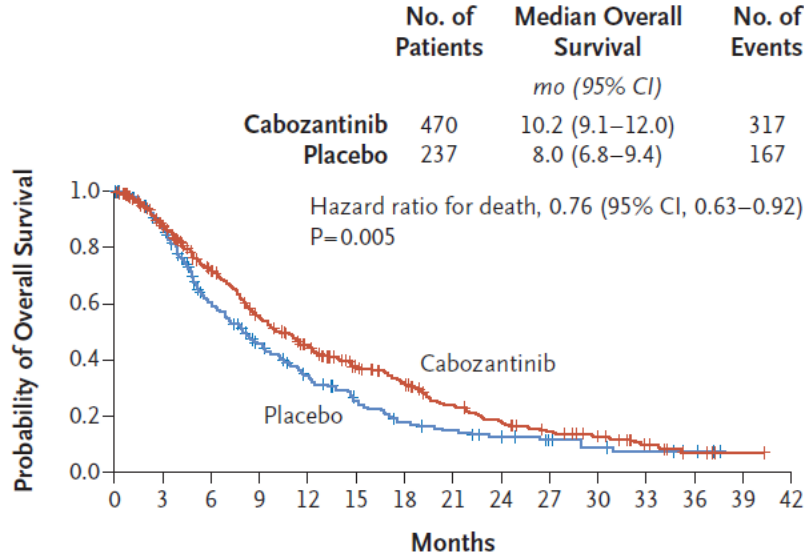
medianes PFS: 3.1mo vs. 1.5mo

Palliative systemische Therapie – Zweitlinie

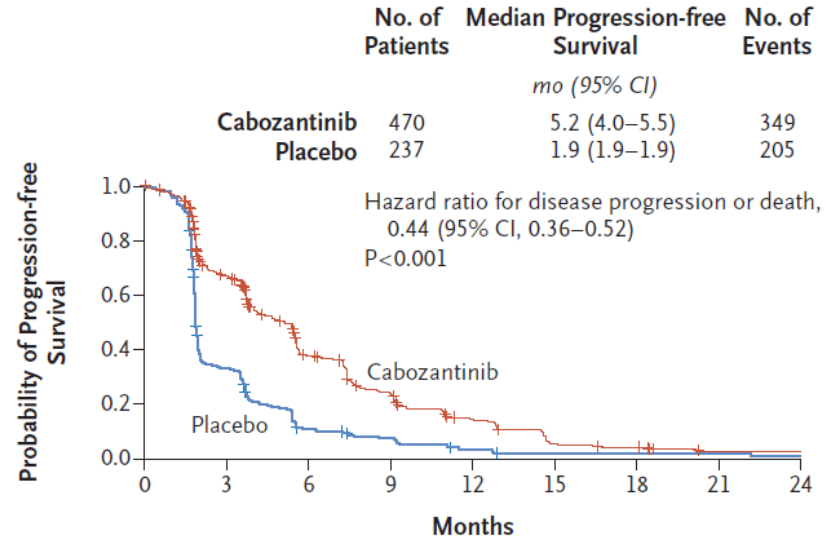
Cabozantinib

→ Zugelassen nach Sorafenib

A Overall Survival



B Progression-free Survival



No. at Risk

Cabozantinib	470	328	281	206	159	116	93	63	44	31	22	12	4	1	0
Placebo	237	190	117	82	57	37	25	20	15	10	7	5	3	0	0

No. at Risk

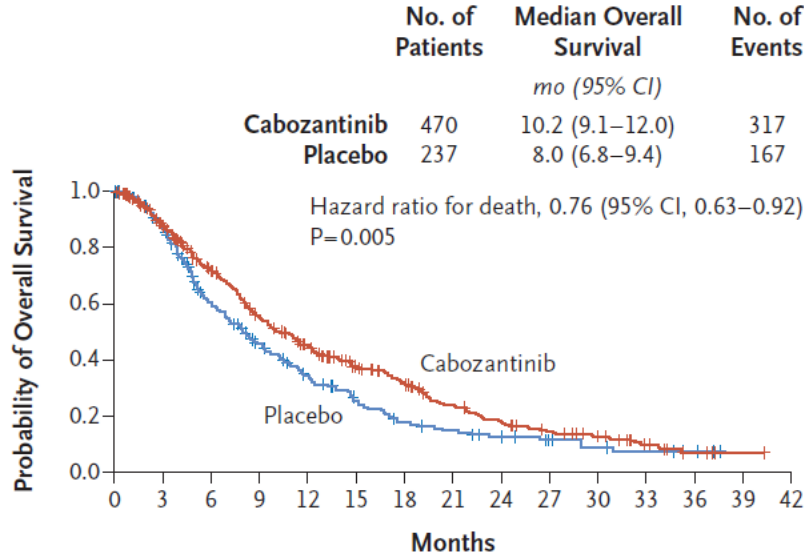
Cabozantinib	470	266	131	80	39	15	10	3	3
Placebo	237	70	21	13	5	2	2	2	1

Palliative systemische Therapie – Zweitlinie

Ramucirumab

→ Zugelassen nach Sorafenib

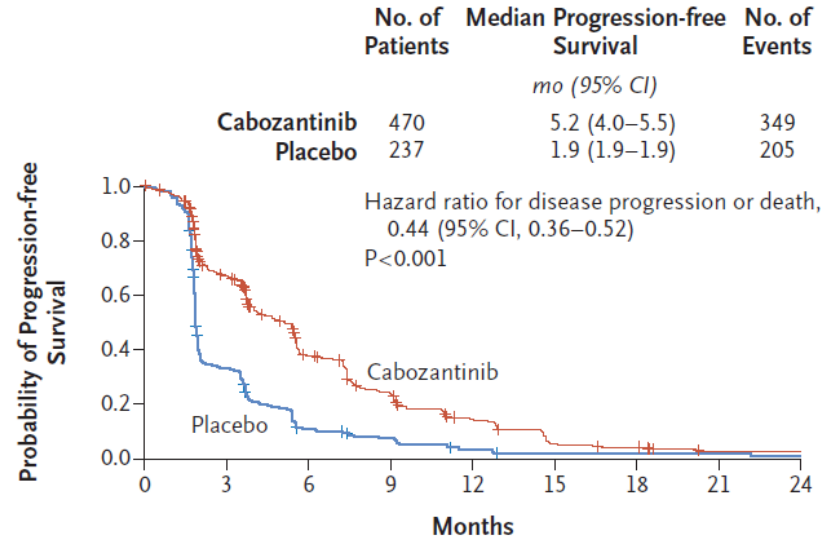
A Overall Survival



No. at Risk

Cabozantinib	470	328	281	206	159	116	93	63	44	31	22	12	4	1	0
Placebo	237	190	117	82	57	37	25	20	15	10	7	5	3	0	0

B Progression-free Survival



No. at Risk

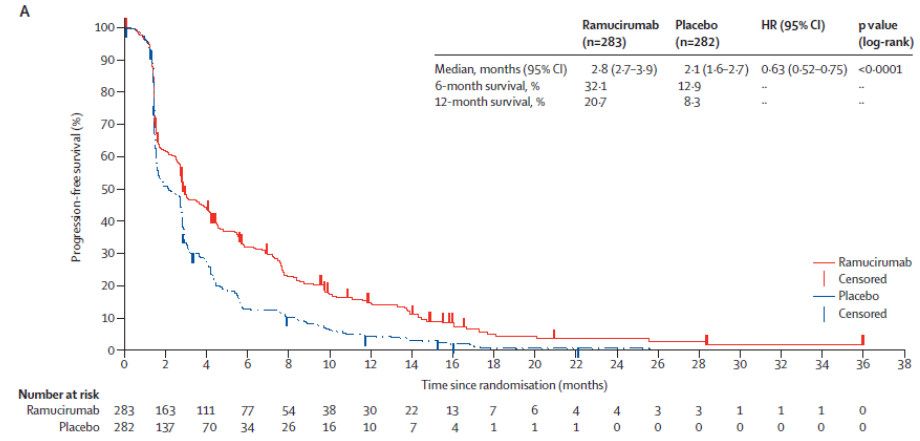
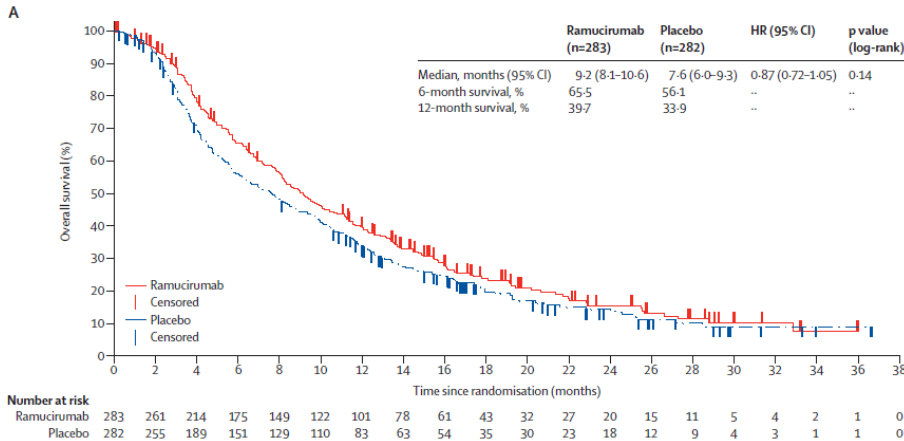
Cabozantinib	470	266	131	80	39	15	10	3	3
Placebo	237	70	21	13	5	2	2	2	1

Abou-Alfa et al N Engl J Med 2018;379:54-63.

Palliative systemische Therapie – Zweitlinie

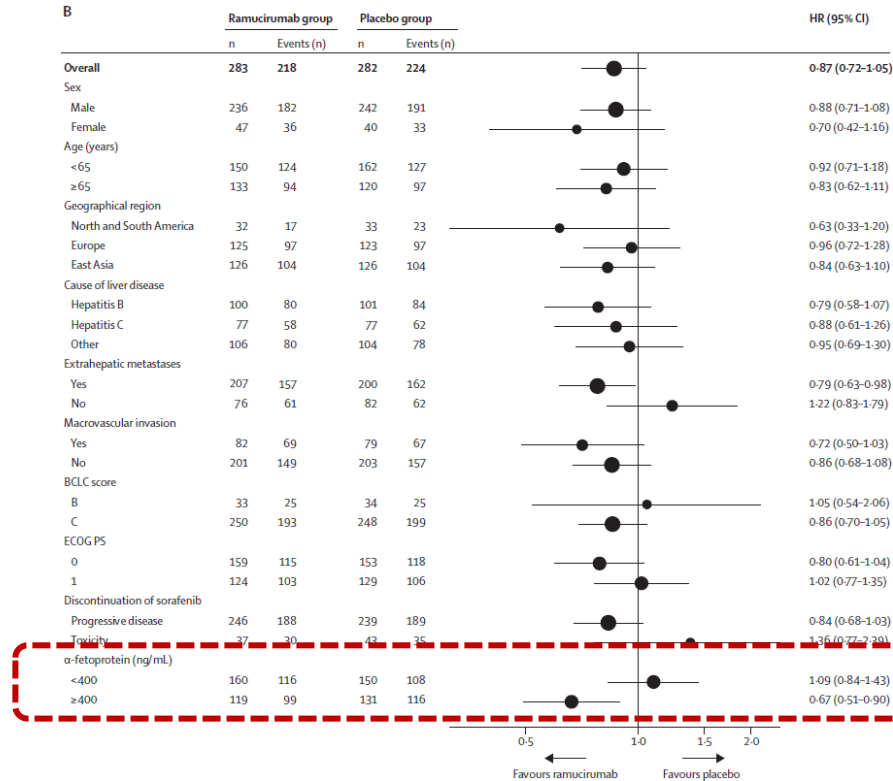
Ramucirumab REACH

➔ Zugelassen nach Sorafenib



Palliative systemische Therapie – Zweitlinie

Ramucirumab REACH

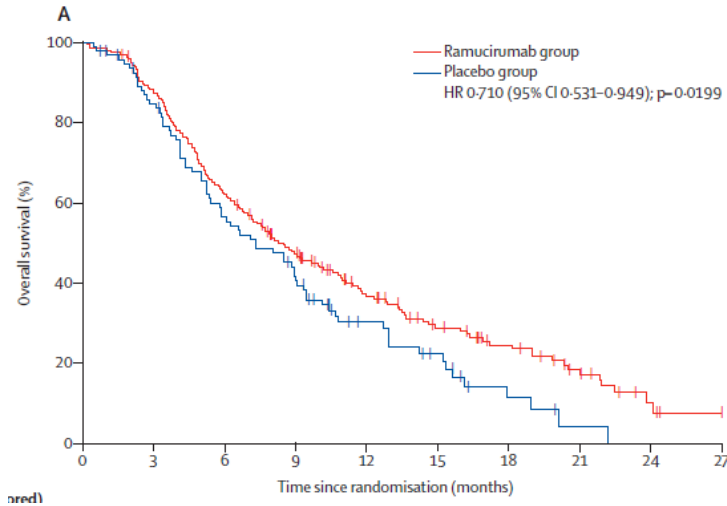


Zhou et al Lancet Oncol 2015

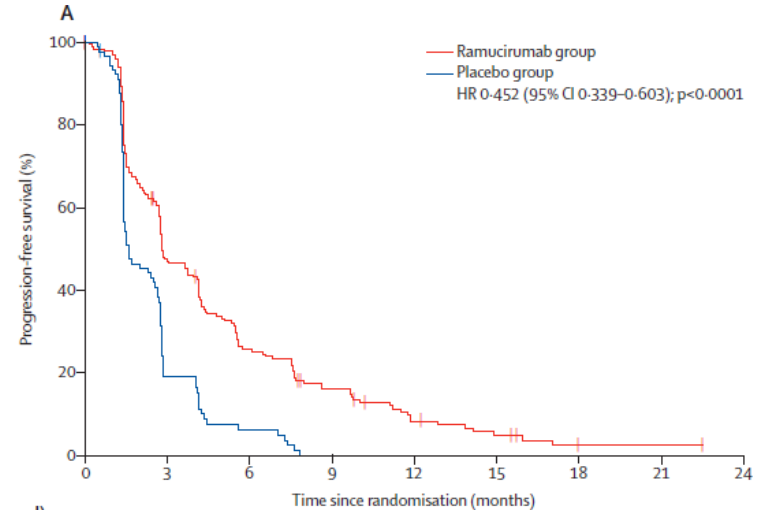
Palliative systemische Therapie – Zweitlinie

Ramucirumab REACH-2: AFP $\leq 400\text{ng/mL}$

→ Zugelassen nach Sorafenib



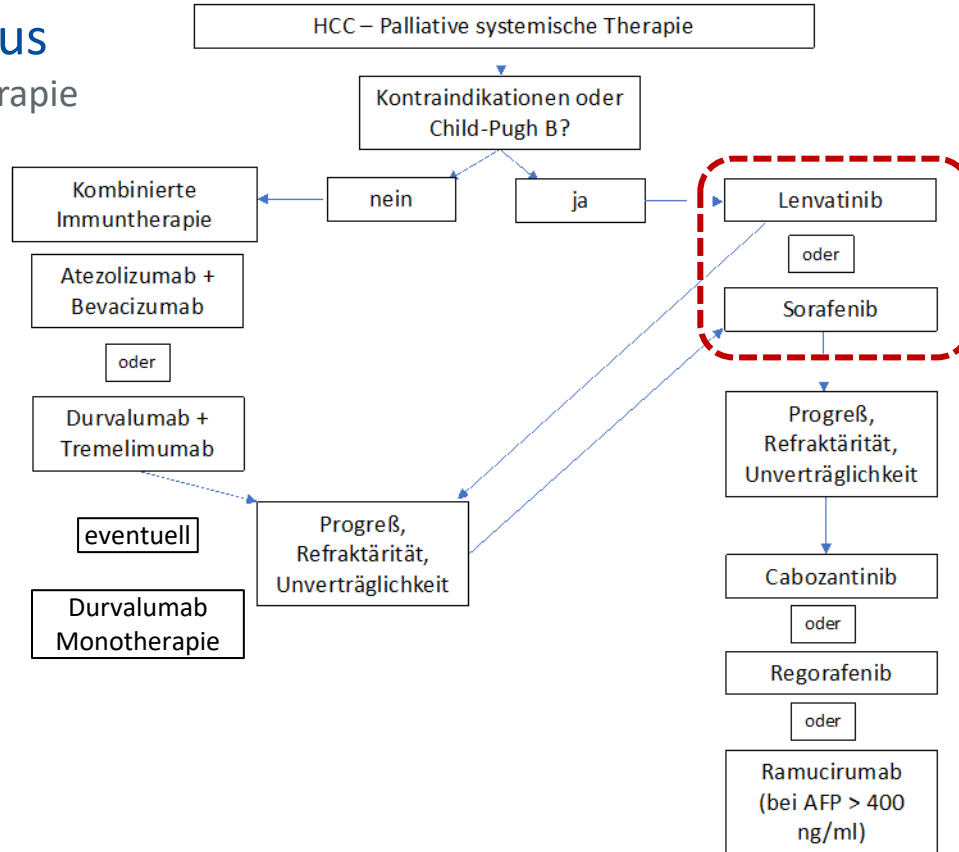
medianes OS: 8.5mo vs. 7.3mo



medianes PFS: 2.8mo vs. 1.6mo

Therapiealgorithmus

Palliative systemische Therapie



Therapiealgorithmus

Levatinib oder Sorafenib?

Levatinib a better option if:

- PS ECOG 0-1
- < 50% liver occupation.
- no bile duct/main portal vein invasion.
- HBV chronic infection
- AFP > 200 ng/mL
- Child Pug A
- < 45 y/o
- lower costs
- (downstaging)

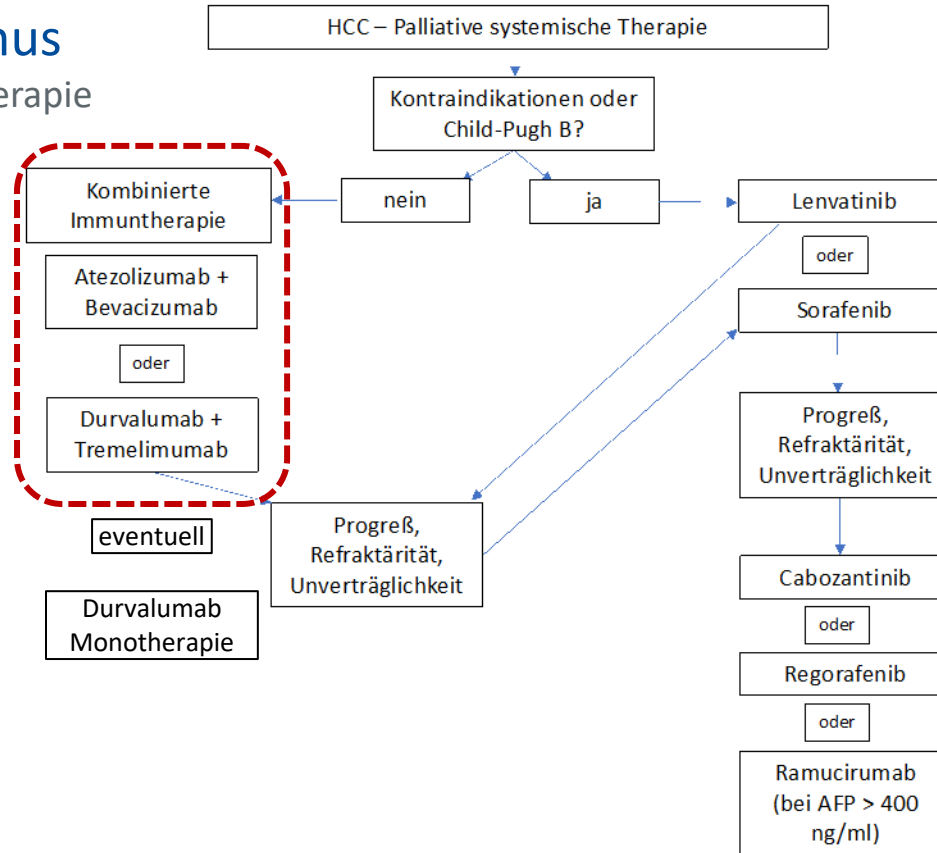
Sorafenib a better option if:

- PS ECOG
- > 50% liver occupation.
- bile duct/main portal vein invasion
- HCV chronic infection.
- AFP < 200 ng/mL
- Child Pug B(7)
- ≥ 75 y/o
- higher costs
- transplant recipients, HIV infection, CKD

Dipasquale et al J Hepatovcell Carcinoma 2021; 8: 241–251.

Therapiealgorithmus

Palliative systemische Therapie



Therapiealgorithmus

HIMALAYA (STRIDE) oder IMBrave150?

Durvalumab + Tremelimumab

- Autoimmunerkrankung?

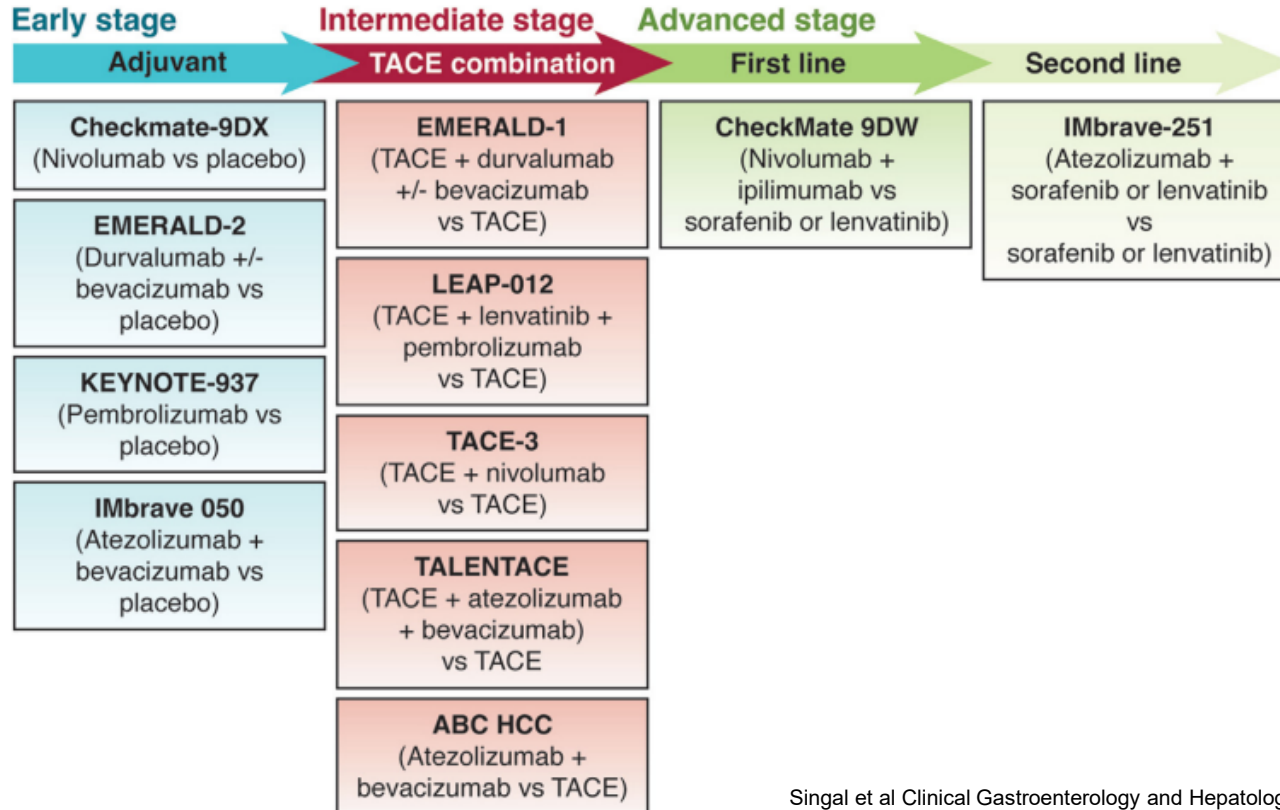
Atezolizumab + Bevacizumab

- Anwendung von BEV in Pat. mit Ösophagusvarizen!
- Gastroskopie erforderlich vor Einleitung Therapie

6

Wie geht's weiter?

Studienkonzepte 2023

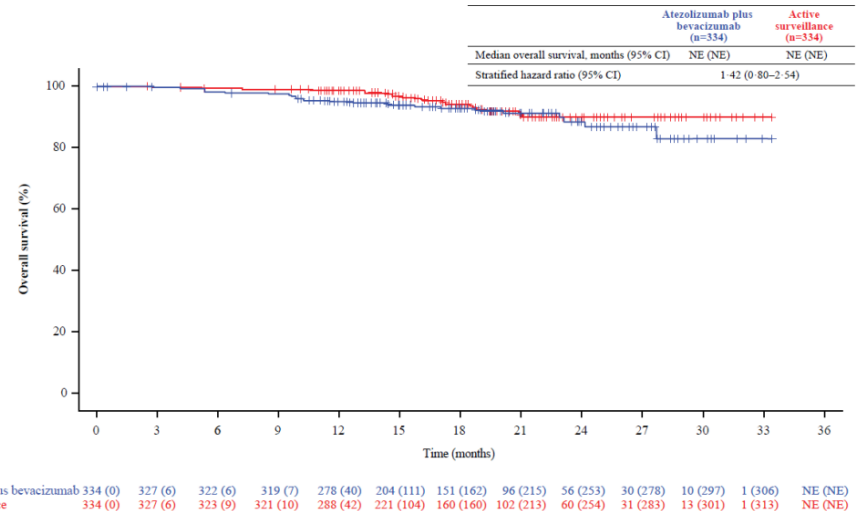
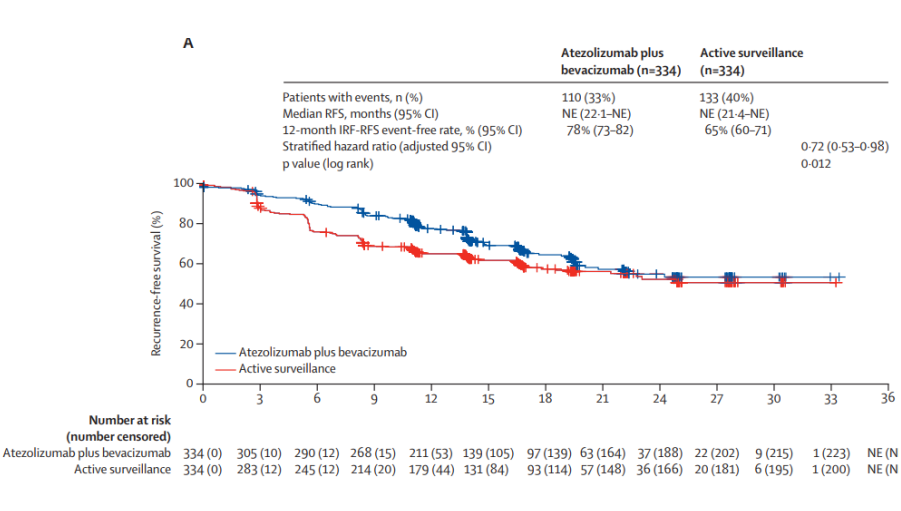


Singal et al Clinical Gastroenterology and Hepatology 2023;21:2135–2149

Adjuvante Therapie

Atezolizumab plus Bevacizumab – IMBrave-050 Studie

➔ Keine Zulassung

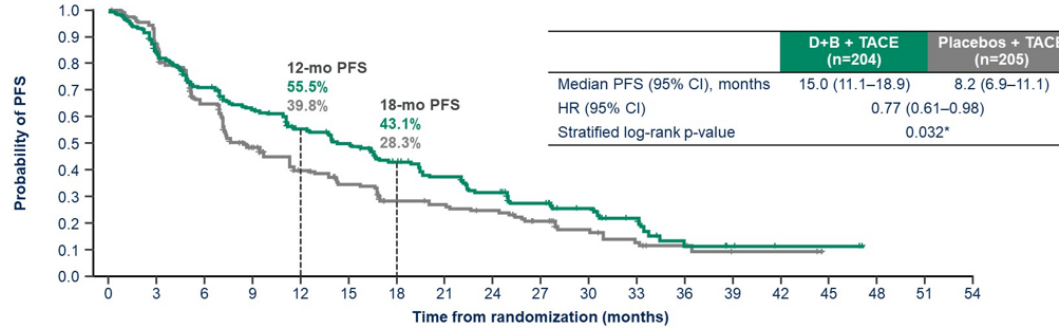


Verbesserung der TACE

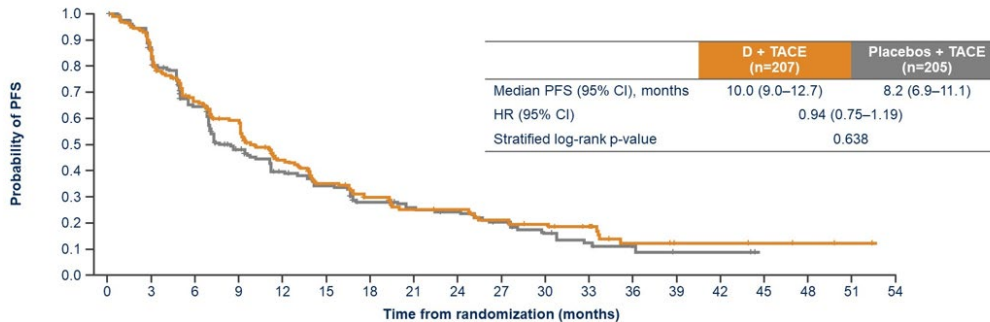
TACE + Durvalumab +/- Bevacizumab

→ Keine Zulassung

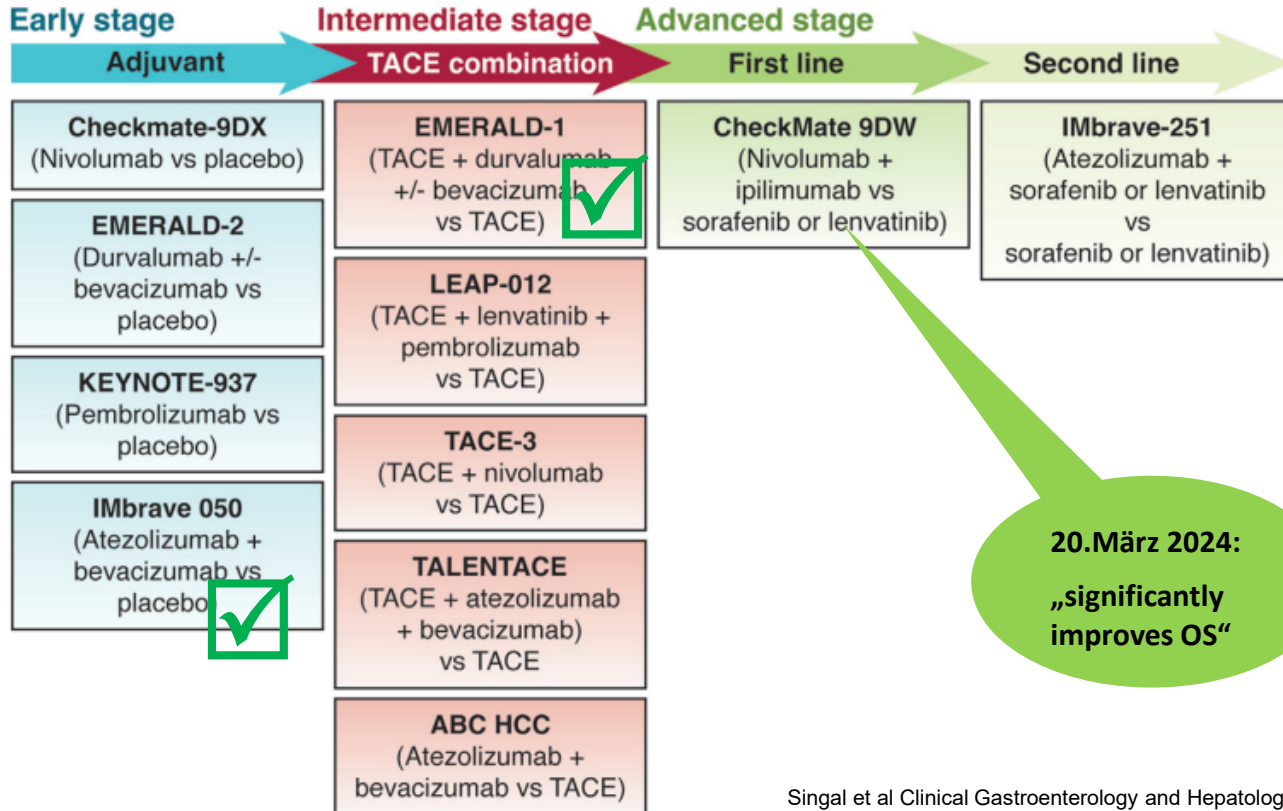
Median PFS was improved by 6.8 months with **D+B + TACE** versus placebos + TACE



PFS was not significantly improved with **D + TACE** versus placebos + TACE



Studienkonzepte 2023



Singal et al Clinical Gastroenterology and Hepatology 2023;21:2135–2149



Vielen Dank für Ihre Aufmerksamkeit!

Prof. Sebastian Stintzing

Klinikdirektor

Medizinische Klinik m.S.

Hämatologie, Onkologie und Tumorimmunologie (CCM)

Charité - Universitätsmedizin Berlin

Campus Charité Mitte | Charitéplatz 1 | 10117 Berlin

T +49 30 450 513 002

F +49 30 450 513 952

sebastian.stintzing@charite.de

www.tumor-online.de

www.charite.de